

บทที่ 2

แนวทางและทฤษฎีที่ใช้ในการวิจัย

2.1 ระเบียบวิธีไฟไนต์เอลิเมนต์ (Finite Element Method)

ในการแก้ปัญหาทางด้านวิศวกรรมศาสตร์ ปัญหาเหล่านั้นจะประกอบด้วยสมการเชิงอนุพันธ์ (Partial Differential Equation) และเงื่อนไขขอบเขตที่กำหนดมา (Boundary Condition) ค่าผลเฉลยแม่นยำ (Exact Solution) ของปัญหา ดังกล่าวจะประกอบด้วยค่าของตัวแปรต่าง ๆ กันตามตำแหน่งต่าง ๆ บนรูปร่างลักษณะของปัญหานั้น หรือกล่าวอีกนัยหนึ่งก็คือ ค่าผลเฉลยแม่นยำจะประกอบด้วยค่าต่าง ๆ ทั้งหมดนับเป็นจำนวนอนันต์ค่า แทนที่จะทำการหาค่าแม่นยำที่ประกอบด้วยค่าต่าง ๆ จำนวนมากมายเช่นนี้ ซึ่งสำหรับปัญหาในทางปฏิบัติจะทำได้ จึงก่อให้เกิดวิธีการหาค่าผลเฉลยโดยประมาณวิธีใหม่ที่เรียกว่า ระเบียบวิธีไฟไนต์เอลิเมนต์ (Zienkiewicz, 1977; Reddy, 1985; Bathe, 1996) โดยจะทำการเปลี่ยนค่าทั้งหมดที่มีจำนวนอนันต์ค่านั้นมาเป็นค่าโดยประมาณที่มีจำนวนที่นับได้ (Finite) ด้วยการแทนรูปร่างลักษณะของปัญหาโดยใช้โครงข่ายของชิ้นส่วน ที่มีขนาดต่าง ๆ กัน

ในวิทยานิพนธ์ฉบับนี้ ได้ทำการปรับปรุง และพัฒนาวิธีการประยุกต์ใช้งาน ต่อเนื่องมาจากวิทยานิพนธ์ของ นาย ดำรงฤทธิ์ พรหมณีวัฒน์ โดยจะอาศัยหลักการที่มีอยู่เดิม ประกอบกับการปรับปรุงขั้นตอนบางอย่างขึ้นใหม่ และเพิ่มเติมเนื้อหาในหลายส่วน เพื่อให้สามารถทำการวิเคราะห์ปัญหาการแทรกของวัตถุในดินได้ครอบคลุมมากยิ่งขึ้น สำหรับรายละเอียดต่าง ๆ จะกล่าวถึงในลำดับต่อไป

หลักการทั่ว ๆ ไปสำหรับวิธีไฟไนต์เอลิเมนต์ คือ ทำการแบ่งขอบเขตของปัญหาออกเป็นชิ้นส่วนย่อย ๆ โดยที่ผลเฉลยของแต่ละชิ้นส่วนนั้น จำเป็นต้องสอดคล้องกับสมการเชิงอนุพันธ์ และเงื่อนไขขอบเขตที่กำหนดมา จุดที่ชิ้นส่วนเหล่านี้มาบรรจบกัน เรียกว่า จุดต่อ (Node) โดยที่จุดต่อจะเป็นตำแหน่งของตัวแปรที่ไม่ทราบค่าของปัญหา

สำหรับสมการแสดงความสัมพันธ์ต่าง ๆ ที่เกี่ยวข้องกับ ระเบียบวิธีไฟไนต์เอลิเมนต์ สามารถแสดงได้ดังนี้ คือ

(1) Equilibrium Equation คือ สมการแสดงความสัมพันธ์ระหว่าง แรงภายนอก $\{F\}$ และความเค้นของชิ้นส่วน $\{\sigma\}$ ดังสมการ

$$\{F\} = [A]\{\sigma\} \quad \dots\dots (2.1)$$

(2) Constitutive Equation คือ สมการแสดงความสัมพันธ์ระหว่าง ความเค้น $\{\sigma\}$ และความเครียด $\{\varepsilon\}$ ณ บริเวณจุดที่ต้องการพิจารณา ดังสมการ

$$\{\sigma\} = [C]\{\varepsilon\} \quad \dots\dots (2.2)$$

(3) Compatibility Equation คือ สมการแสดงความสัมพันธ์ระหว่าง ความเครียดบริเวณจุดที่ต้องการพิจารณา $\{\varepsilon\}$ และเวกเตอร์ของการเคลื่อนตัวที่บริเวณจุดต่อของชิ้นส่วน $\{U\}$ ดังสมการ

$$\{\varepsilon\} = [B]\{U\} \quad \dots\dots (2.3)$$

จากความสัมพันธ์ของสมการทั้งสามดังกล่าว จะสามารถแสดงสมการไฟไนต์เอลิเมนต์ได้ ดังนี้ คือ

$$\{F\} = ([A][C][B])\{U\} \text{ หรือ } \{F\} = [K]\{U\} \quad \dots\dots (2.4)$$

โดยที่ $[K]$ คือ เมทริกแสดงความสัมพันธ์ระหว่างแรงภายนอก $\{F\}$ และเวกเตอร์ของการเคลื่อนตัวที่บริเวณจุดต่อของชิ้นส่วน $\{U\}$

รูปที่ 2.1 แสดงความสัมพันธ์ในการวิเคราะห์ปัญหาโดยระเบียบวิธีไฟไนต์เอลิเมนต์ ถ้าทราบค่าพิกัดต่าง ๆ บริเวณจุดต่อและตำแหน่งของเอลิเมนต์ย่อย ก็จะสามารถหาความสัมพันธ์ระหว่างค่าการเคลื่อนตัวของชิ้นส่วนและแรงกระทำที่เกิดขึ้นบนชิ้นส่วนนั้นได้ โดยทั่วไปความสัมพันธ์จะเขียนอยู่ในรูปของเมทริก เมื่อทราบค่าการเคลื่อนตัวที่จุดต่อต่างๆก็สามารถหาค่าของความเครียดได้จากสมการแสดงความสัมพันธ์ระหว่างความเครียดและการเคลื่อนตัว และในทำนองเดียวกันก็จะสามารถหาค่าความเค้นจากสมการแสดงความสัมพันธ์ระหว่างความเค้นและความเครียดได้ตามลำดับ

2.2 การสร้างโครงข่ายของชิ้นส่วนโดยระเบียบวิธีอัตโนมัติ

ในวิทยานิพนธ์ฉบับนี้ได้ใช้ภาษาคอมพิวเตอร์ฟอร์แทรน (Fortran) ในการวิเคราะห์ปัญหาทางวิศวกรรมเทคนิคธรณี โดยระเบียบวิธีไฟไนต์เอลิเมนต์ และทำการสร้างโครงข่ายของชิ้นส่วนโดยวิธีอัตโนมัติ ซึ่งเป็นการแบ่งโครงสร้างของปัญหาออกเป็นชิ้นส่วนย่อย ๆ ภายในขอบเขตของปัญหาที่ได้กำหนดไว้ และง่ายต่อการควบคุมความหนาแน่นของโครงข่ายของเอลิเมนต์ และจะได้รูปร่างของเอลิเมนต์ที่เหมาะสมในการวิเคราะห์ปัญหาคด้วยระเบียบวิธีไฟไนต์เอลิเมนต์อีกด้วย (Ho-Le, 1988)

โดยขั้นตอนสำหรับการสร้างโครงข่ายของชิ้นส่วนโดยระเบียบวิธีอัตโนมัติมีดังต่อไปนี้

1. กำหนดพิกัดขอบเขตรูปร่างของปัญหาที่จะนำมาวิเคราะห์
2. กำหนดจุดต่อที่บริเวณขอบเขตของปัญหา โดยอาศัยฟังก์ชันความหนาแน่นของชิ้นส่วน (Mesh Density Function) หรืออาศัยการกำหนดจุดต่อโดยสมการอนุกรมเรขาคณิต (Geometric Sequence Equation)
3. คำนวณค่าความหนาแน่นของโครงข่ายชิ้นส่วนได้ตามที่ต้องการ และทำการเพิ่มจุดต่อภายในขอบเขตของปัญหา โดยอาศัยฟังก์ชันความหนาแน่นของชิ้นส่วน (Mesh Density Function)
4. สร้างโครงข่ายของชิ้นส่วน โดยเชื่อมจุดต่อ (Node) ต่าง ๆ ให้เป็นชิ้นส่วนสามเหลี่ยมสามจุดต่อ โดยวิธี Delaunay Triangulation
5. ปรับปรุงรูปร่างของชิ้นส่วนให้ได้ขนาดที่เหมาะสม โดยวิธี Mesh Smoothing
6. เพิ่มระดับขั้นความเสริของชิ้นส่วน (Transformation) จากชิ้นส่วนสามเหลี่ยมสามจุดต่อเป็นชิ้นส่วนสามเหลี่ยมหกจุดต่อ หรือชิ้นส่วนสามเหลี่ยมสิบห้าจุดต่อ
7. แสดงผลของหมายเลข และพิกัดของจุดต่อ เพื่อที่จะนำไปวิเคราะห์ปัญหาโดยระเบียบวิธีไฟไนต์เอลิเมนต์ต่อไป

2.2.1 โครงข่ายของชิ้นส่วนสามเหลี่ยม (Delaunay Triangulation)

ในการดำเนินงานวิทยานิพนธ์นี้ได้ทำการเลือกใช้ วิธีการสร้างโครงข่ายสามเหลี่ยมเดอลอน (Delaunay Triangulation) ในการสร้างโครงข่ายของชิ้นส่วนแบบไร้โครงสร้าง (Unstructured Mesh) เป็นการแบ่งโครงสร้างของปัญหาออกเป็นชิ้นส่วนย่อย ๆ โดยการเชื่อมจุดต่อต่าง ๆ ภายในขอบเขตของปัญหา ให้เป็นชิ้นส่วนที่มีรูปร่างสามเหลี่ยมสามจุดต่อ และมีทิศทางทวนเข็มนาฬิกา โดยที่จุดต่อภายในขอบเขตของปัญหา จะถูกกำหนดและควบคุม โดยสมการของ Mesh Density Function และ Mesh Smoothing และโปรแกรมจะเชื่อมจุดต่อต่าง ๆ อย่างอิสระภายใต้เงื่อนไขของ Delaunay Triangulation ที่ได้ถูกกำหนดไว้ (Sloan, 1987, 1993)

ข้อดีในการใช้โครงข่ายสามเหลี่ยมเดอลอน คือโปรแกรมจะพยายามเชื่อมจุดต่อของชิ้นส่วนสามเหลี่ยมสามจุดต่อโดยอัตโนมัติ ภายใต้เงื่อนไขที่ว่าด้วยขนาดของชิ้นส่วนสามเหลี่ยมจะมีรูปร่างที่ไม่เป็นมุมป้านหรือมุมแหลมมากเกินไป ดังรูปที่ 2.2 และส่วนประกอบของสามเหลี่ยมเดอลอนแสดงไว้ ดังรูปที่ 2.3

2.2.2 สมการอนุกรมเรขาคณิต (Geometric Sequence Equation)

การกำหนดจุดต่อที่บริเวณขอบเขตของปัญหา เป็นอีกขั้นตอนหนึ่งที่มีความสำคัญ โดยในวิทยานิพนธ์ฉบับนี้ ได้นำเสนอแนวทางไว้ 2 แนวทางด้วยกัน คือ การกำหนดจุดต่อโดยอาศัยฟังก์ชันความหนาแน่น และการกำหนดจุดต่อโดยสมการอนุกรมเรขาคณิต

หลักการของสมการอนุกรมเรขาคณิต คือ ทำการกระจายตำแหน่งจุดต่อบนแนวเส้นขอบเขตของปัญหาระหว่างจุดต่อสองจุดใด ๆ ในรูปแบบของสมการอนุกรมเรขาคณิต โดยกำหนดให้มีค่า Characteristic Length เป็นตัวแปรสำคัญในการกำหนดระยะห่างระหว่างจุดต่อแต่ละจุด สำหรับจำนวนจุดต่อทั้งหมด, N ที่จะทำให้การกระจายบนแนวเส้นขอบเขต สามารถคำนวณได้ดังนี้

$$N = \frac{\ln(c_n \cdot Z / c_1)}{\ln(Z)} \quad \dots (2.5)$$

$$\text{เมื่อ} \quad Z = 2 \cdot (c_n - c_1) + \frac{\sqrt{(2c_n - 2c_1)^2 + 4L^2}}{2L} \quad \dots (2.6)$$

โดยที่ c_1 คือ ค่า Characteristic Length ที่ตำแหน่งจุดต่อที่ 1

c_n คือ ค่า Characteristic Length ที่ตำแหน่งจุดต่อที่ n

L คือ ระยะห่างระหว่างจุดต่อที่ 1 และจุดต่อที่ n

และสามารถคำนวณค่าอัตราส่วนเรขาคณิต (Geometric Ratio, r) ได้จากสมการดังนี้

$$r = \left(\frac{c_n}{c_1} \right)^{\frac{1}{n-1}} \quad \dots (2.7)$$

จากค่าอัตราส่วนเรขาคณิต สามารถคำนวณระยะห่างระหว่างจุดต่อที่ i และ $(i+1)$ ได้จากสมการดังต่อไปนี้

$$d_i = \frac{2c_1 \cdot r}{(1+r)} * r^{(i-1)} \quad \dots (2.8)$$

โดยที่ d_i คือ ระยะห่างระหว่างจุดต่อที่ i และ $(i+1)$

2.2.3 ฟังก์ชันความหนาแน่นของชิ้นส่วน (Mesh Density Function)

การที่จะได้ผลการวิเคราะห์รวดเร็วที่สุดและถูกต้องแม่นยำตรงสำหรับการคำนวณด้วย วิธีไฟไนต์เอลิเมนต์ ดังรูปที่ 2.4 จะต้องมีการควบคุมความหนาแน่นของโครงข่ายของชิ้นส่วน (Hu

and Randolph, 1998a) ซึ่งจะพบว่า ณ บริเวณขอบเขตใดที่มีผลกระทบต่อการเปลี่ยนแปลงรูปร่างหรือหน่วยแรงในชิ้นส่วนที่มีความแปรผันหรือมีค่าสูง ดังนั้นจึงจำเป็นที่จะต้องมีความหนาแน่นของโครงข่ายของชิ้นส่วน ณ บริเวณขอบเขตนั้นสูง และ ณ บริเวณขอบเขตใดที่มีผลกระทบต่อการเปลี่ยนแปลงรูปร่างหรือหน่วยแรงในชิ้นส่วนที่มีความแปรผันหรือมีค่าน้อย บริเวณนั้นก็จะมีความหนาแน่นของโครงข่ายของชิ้นส่วนน้อยลงตามลำดับ ฟังก์ชันความหนาแน่นของชิ้นส่วนซึ่งเสนอโดย Hu and Randolph (1998a) แสดงไว้ดังสมการต่อไปนี้

$$f_d = Ae^{Bd} \quad \dots (2.9)$$

โดยที่ f_d คือ ฟังก์ชันความหนาแน่นของชิ้นส่วน

d คือ ระยะทางจากพิกัดอ้างอิง (x_0, y_0) ถึงพิกัดที่พิจารณา

A และ B คือ ค่าคงที่

และ

$$B = \frac{\log(F_2 / F_1)}{(D_2 - D_1)} \quad \dots (2.10)$$

$$A = \frac{F_1}{e^{(B \cdot D_1)}} \quad \dots (2.11)$$

โดยที่ F_1 และ F_2 คือ ค่าฟังก์ชันความหนาแน่นของชิ้นส่วน ณ ตำแหน่งที่ 1 และ 2 ตามลำดับ

D_1 และ D_2 คือ ระยะทางจากพิกัดอ้างอิง (x_0, y_0) ถึงพิกัดที่พิจารณา ณ ตำแหน่งที่ 1 และ 2 ตามลำดับ

2.2.4 การปรับปรุงรูปร่างของชิ้นส่วน (Mesh Smoothing)

การปรับปรุงรูปร่างของชิ้นส่วนเพื่อให้ได้ขนาดที่เหมาะสมในการวิเคราะห์ปัญหาด้วยระเบียบวิธีไฟไนต์เอลิเมนต์ บ่อยครั้งในการสร้างชิ้นส่วนสามเหลี่ยมโดยวิธีอัตโนมัติ ที่ใช้ Delaunay Triangulation เชื่อมจุดต่อ (Node) ของโครงข่ายของชิ้นส่วน แต่ก็ยังคงได้รูปร่างของชิ้นส่วนที่ไม่เหมาะสมในการวิเคราะห์ด้วยระเบียบวิธีไฟไนต์เอลิเมนต์ ซึ่งในกรณีนี้จะต้องมีการปรับปรุงรูปร่างของชิ้นส่วนให้มีรูปร่างที่เหมาะสมโดยใช้วิธี Laplacian Smoothing ซึ่งเป็นวิธีที่นิยมมากในการปรับปรุงรูปร่างของชิ้นส่วนสามเหลี่ยม (Herman, 1976; Hu and Randolph, 1998a)

หลักการของ Laplacian Smoothing คือ พยายามปรับปรุงตำแหน่งของจุดต่ออ้างอิงให้อยู่ในตำแหน่งจุดศูนย์กลางของจุดต่อที่อยู่ล้อมรอบจุดอ้างอิงดังสมการต่อไปนี้

$$x_i = \frac{1}{2N_i} \sum_{n=1}^{N_i} (x_{nj} + x_{nk}) ; i = 1 \rightarrow I \quad \dots\dots (2.12)$$

$$y_i = \frac{1}{2N_i} \sum_{n=1}^{N_i} (y_{nj} + y_{nk}) ; i = 1 \rightarrow I \quad \dots\dots (2.13)$$

โดยที่ x_i, y_i คือ พิกัดของจุดต่ออ้างอิง i ที่มีการปรับปรุงพิกัดโดยวิธี Laplacian Smoothing
 N_i คือ จำนวนของชิ้นส่วนทั้งหมดรอบจุดต่ออ้างอิง i ที่จะปรับปรุงพิกัด
 I คือ จำนวนจุดต่อทั้งหมดภายในขอบเขตโครงสร้างของปัญหา
 nk, nj คือ จุดต่อที่อยู่ล้อมรอบ จุดอ้างอิง i หรือจุดต่อข้างเคียงของชิ้นส่วน n

รูปที่ 2.5 แสดงพิกัดของจุดต่อ i และพิกัดข้างเคียง และรูปที่ 2.6 แสดงผลของการปรับปรุงรูปร่างของโครงข่ายของชิ้นส่วน

2.3 แบบจำลองไอโซพาราเมตริกสำหรับชิ้นส่วนสามเหลี่ยม

หลักการสำคัญของวิธีไอโซพาราเมตริก คือ การกำหนดความสัมพันธ์ระหว่างค่าพิกัด หรือค่าการกระจัดของชิ้นส่วนที่ตำแหน่งใด ๆ และ ค่าพิกัดหรือค่าการกระจัดของชิ้นส่วนที่ตำแหน่งจุดต่อ โดยอาศัยฟังก์ชันการประมาณภายใน (Interpolation Function) การหาสมการไฟไนต์เอลิเมนต์ต่าง ๆ ด้วยวิธีไอโซพาราเมตริกจะใช้ค่าพิกัดธรรมชาติ (L_1, L_2, L_3) เป็นตัวกำหนดพิกัดของจุดต่อและจุดเกาส์ของชิ้นส่วน ซึ่งจะมีความสัมพันธ์กับพิกัดรวม หรือพิกัดจริง (x, y) ของชิ้นส่วน

ค่าพิกัด (x, y) และค่าการกระจัด (U) ของชิ้นส่วน ซึ่งคำนวณโดยใช้หลักการของวิธีไอโซพาราเมตริก สามารถแสดงไว้ดังนี้

$$x = \sum_{i=1}^n N_i x_i \quad \text{และ} \quad y = \sum_{i=1}^n N_i y_i \quad \dots\dots (2.14)$$

$$U = \sum_{i=1}^n N_i U_i \quad \dots\dots (2.15)$$

โดยที่ x_i, y_i คือ ค่าพิกัดที่ตำแหน่งจุดต่อของชิ้นส่วน
 U_i คือ ค่าการกระจัดที่ตำแหน่งจุดต่อของชิ้นส่วน
 N_i คือ ฟังก์ชันการประมาณภายในของชิ้นส่วน
 n คือ จำนวนจุดต่อในแต่ละชิ้นส่วน (6 จุดต่อ และ 15 จุดต่อ)

ในวิทยานิพนธ์นี้ ทำการวิเคราะห์ปัญหาโดยใช้โครงข่ายของชั้นส่วน 6 จุดต่อ และโครงข่ายของชั้นส่วน 15 จุดต่อ ซึ่งรายละเอียดต่าง ๆ แสดงไว้ดังนี้

2.3.1 ฟังก์ชันการประมาณภายในของชั้นส่วนสามเหลี่ยมหกจุดต่อ

สำหรับโครงข่ายของชั้นส่วนสามเหลี่ยมหกจุดต่อ กำหนดให้ทิศทางของจุดต่อเรียงทวนเข็มนาฬิกา และสามารถเขียนฟังก์ชันการประมาณภายในของชั้นส่วนสามเหลี่ยม 6 จุดต่อ N ได้ดังนี้

$$\begin{aligned} N_1 &= L_1(2L_1 - 1) & N_2 &= 4L_1L_2 \\ N_3 &= L_2(2L_2 - 1) & N_4 &= 4L_2L_3 \\ N_5 &= L_3(2L_3 - 1) & N_6 &= 4L_3L_1 \end{aligned} \quad \dots (2.16)$$

โดยที่ L_1, L_2, L_3 คือ ค่าพิกัดธรรมชาติ (Natural Coordinates) ของชั้นส่วน มีค่าตั้งแต่ 0 ถึง 1 และ $L_1 + L_2 + L_3 = 1$

เนื่องจากฟังก์ชันการประมาณภายใน N สำหรับชั้นส่วนสามเหลี่ยมหกจุดต่อ เป็นฟังก์ชันกำลังสอง ดังนั้นจึงเรียกชั้นส่วนของสามเหลี่ยมชนิดนี้ว่า ชั้นส่วนสามเหลี่ยมกำลังสอง

กำหนดให้มีจุดเกาส์ในแต่ละชั้นส่วนจำนวน 6 จุดเกาส์ โดยค่าพิกัดธรรมชาติ (L_1, L_2, L_3) และค่าตัวคูณถ่วงน้ำหนัก ($Weight_i$) ณ ตำแหน่งจุดเกาส์ในแต่ละชั้นส่วน แสดงไว้ดังต่อไปนี้

ตำแหน่งเกาส์ที่ 1 :	$L_1 = 0.8168475729804590$	$L_2 = 0.0915762135097710$
ตำแหน่งเกาส์ที่ 2 :	$L_1 = 0.4459484909159650$	$L_2 = 0.4459484909159650$
ตำแหน่งเกาส์ที่ 3 :	$L_1 = 0.0915762135097710$	$L_2 = 0.8168475729804590$
ตำแหน่งเกาส์ที่ 4 :	$L_1 = 0.1081030181680700$	$L_2 = 0.4459484909159650$
ตำแหน่งเกาส์ที่ 5 :	$L_1 = 0.0915762135097710$	$L_2 = 0.0915762135097710$
ตำแหน่งเกาส์ที่ 6 :	$L_1 = 0.4459484909159650$	$L_2 = 0.1081030181680700$

ค่า $Weight_i$ ณ ตำแหน่งจุดเกาส์ที่ 1, 3, 5 มีค่าเท่ากับ 0.0549758718276610

ค่า $Weight_i$ ณ ตำแหน่งจุดเกาส์ที่ 2, 4, 6 มีค่าเท่ากับ 0.1116907948390055

โดยที่ $Weight_i$ คือ ค่าตัวคูณถ่วงน้ำหนัก ณ ตำแหน่งจุดเกาส์ของชั้นส่วนในการหาค่าอินทิเกรตเชิงตัวเลข

2.3.2 ฟังก์ชันการประมาณภายในของชั้นส่วนสามเหลี่ยมสลับห้าจุดต่อ

สำหรับโครงข่ายของชั้นส่วนสามเหลี่ยมสลับห้าจุดต่อ กำหนดให้ทิศทางจุดต่อเรียงทวนเข็มนาฬิกา ดังรูปที่ 2.7 และสามารถเขียนฟังก์ชันการประมาณภายในของชั้นส่วนสามเหลี่ยม 15 จุดต่อ N ได้ดังนี้

$$N_1 = \frac{32}{3} L_1 (L_1 - 0.25)(L_1 - 0.5)(L_1 - 0.75)$$

$$N_2 = \frac{128}{3} L_1 L_2 (L_1 - 0.25)(L_1 - 0.5)$$

$$N_3 = 64 L_1 L_2 (L_1 - 0.25)(L_2 - 0.25)$$

$$N_4 = \frac{128}{3} L_1 L_2 (L_2 - 0.25)(L_2 - 0.5)$$

$$N_5 = \frac{32}{3} L_2 (L_2 - 0.25)(L_2 - 0.5)(L_2 - 0.75)$$

$$N_6 = \frac{128}{3} L_2 L_3 (L_2 - 0.25)(L_2 - 0.5)$$

$$N_7 = 64 L_2 L_3 (L_2 - 0.25)(L_3 - 0.25)$$

$$N_8 = \frac{128}{3} L_2 L_3 (L_3 - 0.25)(L_3 - 0.5)$$

$$N_9 = \frac{32}{3} L_3 (L_3 - 0.25)(L_3 - 0.5)(L_3 - 0.75)$$

$$N_{10} = \frac{128}{3} L_1 L_3 (L_3 - 0.25)(L_3 - 0.5)$$

$$N_{11} = 64 L_1 L_3 (L_1 - 0.25)(L_3 - 0.25)$$

$$N_{12} = \frac{128}{3} L_1 L_3 (L_1 - 0.25)(L_1 - 0.5)$$

$$N_{13} = 128 L_1 L_2 L_3 (L_1 - 0.25)$$

$$N_{14} = 128 L_1 L_2 L_3 (L_2 - 0.25)$$

$$N_{15} = 128 L_1 L_2 L_3 (L_3 - 0.25)$$

..... (2.17)

โดยที่ L_1, L_2, L_3 คือ ค่าพิกัดธรรมชาติ (Natural Coordinates) ของชั้นส่วน มีค่าตั้งแต่ 0 ถึง 1 และ $L_1 + L_2 + L_3 = 1$

เนื่องจากฟังก์ชันการประมาณภายใน N เป็นฟังก์ชันกำลังสี่ ดังนั้นจึงเรียกชั้นส่วนของสามเหลี่ยมชนิดนี้ว่า ชั้นส่วนสามเหลี่ยมกำลังสี่

กำหนดให้มีจุดเกาส์ในแต่ละชั้นส่วนจำนวน 12 จุด การจัดเรียงตำแหน่งจุดเกาส์ของชั้นส่วนเป็นดังรูปที่ 2.8 โดยค่าพิกัดธรรมชาติ (L_1, L_2, L_3) และค่าตัวคูณถ่วงน้ำหนัก ($Weight_i$) ณ ตำแหน่งจุดเกาส์ในแต่ละชั้นส่วน แสดงไว้ดังต่อไปนี้

ตำแหน่งเกาส์ที่ 1 :	$L_1 = 0.873821971016996$	$L_2 = 0.063089014491502$
ตำแหน่งเกาส์ที่ 2 :	$L_1 = 0.063089014491502$	$L_2 = 0.063089014491502$
ตำแหน่งเกาส์ที่ 3 :	$L_1 = 0.063089014491502$	$L_2 = 0.873821971016996$
ตำแหน่งเกาส์ที่ 4 :	$L_1 = 0.501426509658179$	$L_2 = 0.249286745170910$
ตำแหน่งเกาส์ที่ 5 :	$L_1 = 0.249286745170910$	$L_2 = 0.249286745170910$
ตำแหน่งเกาส์ที่ 6 :	$L_1 = 0.249286745170910$	$L_2 = 0.501426509658179$
ตำแหน่งเกาส์ที่ 7 :	$L_1 = 0.636502499121399$	$L_2 = 0.310352451033785$
ตำแหน่งเกาส์ที่ 8 :	$L_1 = 0.053145049844816$	$L_2 = 0.636502499121399$
ตำแหน่งเกาส์ที่ 9 :	$L_1 = 0.310352451033785$	$L_2 = 0.053145049844816$
ตำแหน่งเกาส์ที่ 10 :	$L_1 = 0.310352451033785$	$L_2 = 0.636502499121399$
ตำแหน่งเกาส์ที่ 11 :	$L_1 = 0.636502499121399$	$L_2 = 0.053145049844816$
ตำแหน่งเกาส์ที่ 12 :	$L_1 = 0.053145049844816$	$L_2 = 0.310352451033785$

ค่า $Weight_i$ ณ ตำแหน่งจุดเกาส์ที่ 1, 2, 3 มีค่าเท่ากับ 0.0254224531851035

ค่า $Weight_i$ ณ ตำแหน่งจุดเกาส์ที่ 4, 5, 6 มีค่าเท่ากับ 0.0583933786318950

ค่า $Weight_i$ ณ ตำแหน่งจุดเกาส์ที่ 7 ถึง 12 มีค่าเท่ากับ 0.0414255378091870

โดยที่ $Weight_i$ คือ ค่าตัวคูณถ่วงน้ำหนัก ณ ตำแหน่งจุดเกาส์ของชั้นส่วนในการหาค่าอินทิเกรตเชิงตัวเลข

2.4 ความสัมพันธ์ระหว่างความเค้น และความเครียด (Constitutive Equation) สำหรับวัตถุแบบ Linear Elastic

กำหนดให้ C_e (Elastic Stress-Strain Matrices) คือ ค่าของเมทริกแสดงความสัมพันธ์ระหว่างความเค้นและความเครียดของวัตถุในสภาวะยึดหยุ่น (Timoshenko and Goodier, 1951) สำหรับการวิเคราะห์ปัญหาแบบสองมิติสมมาตรรอบแกน (Axisymmetric Problem) สามารถหาค่า C_e จากความสัมพันธ์ของสมการ $\{\sigma\} = [C]\{\varepsilon\}$ ได้ดังนี้

$$\begin{Bmatrix} \sigma_r \\ \sigma_z \\ \tau_{rz} \\ \sigma_\theta \end{Bmatrix} = \frac{E}{(1+\nu)(1-2\nu)} \begin{bmatrix} 1-\nu & \nu & 0 & \nu \\ \nu & 1-\nu & 0 & \nu \\ 0 & 0 & \frac{1-2\nu}{2} & 0 \\ \nu & \nu & 0 & 1-\nu \end{bmatrix} \begin{Bmatrix} \varepsilon_r \\ \varepsilon_z \\ \gamma_{rz} \\ \varepsilon_\theta \end{Bmatrix} \quad \dots\dots (2.18)$$

และสำหรับปัญหาแบบสองมิติเคลื่อนตัวในระนาบ (Plane Strain Problem) สามารถหาค่า C_e จากความสัมพันธ์ของสมการ $\{\sigma\} = [C]\{\varepsilon\}$ ได้ดังนี้

$$\begin{Bmatrix} \sigma_{xx} \\ \sigma_{yy} \\ \tau_{xy} \end{Bmatrix} = \frac{E}{(1+\nu)(1-2\nu)} \begin{bmatrix} 1-\nu & \nu & 0 \\ \nu & 1-\nu & 0 \\ 0 & 0 & \frac{1-2\nu}{2} \end{bmatrix} \begin{Bmatrix} \varepsilon_{xx} \\ \varepsilon_{yy} \\ \gamma_{xy} \end{Bmatrix} \quad \dots\dots (2.19)$$

โดยที่ E คือ ค่าโมดูลัสของการยึดหยุ่น (Young's modulus)

ν คือ ค่าอัตราส่วนปัวซอง (Poisson's Ratio)

$\{\sigma\}$ คือ เวกเตอร์ของค่าความเค้น (Stress)

$\{\varepsilon\}$ คือ เวกเตอร์ของค่าความเครียด (Strain)

2.5 ความสัมพันธ์ระหว่างความเครียด และการเคลื่อนตัว (Compatibility Equation)

จากสมการแสดงความสัมพันธ์ระหว่าง ความเครียดบริเวณจุดที่ต้องการพิจารณา $\{\varepsilon\}$ และ เวกเตอร์ของการเคลื่อนตัวที่บริเวณจุดต่อของชิ้นส่วน $\{U\}$

$$\{\varepsilon\} = [B]\{U\} \quad \dots\dots (2.20)$$

จะสามารถแสดงเมทริกการเคลื่อนตัวของวัตถุ $\{U\}$ สำหรับโครงข่ายของชิ้นส่วนสามเหลี่ยม 6 จุดต่อ และ 15 จุดต่อได้ดังต่อไปนี้

6 จุดต่อ : Axisymmetric Problem (12 × 1)

$$\{U\}^T = \{U_{1r} \ U_{1z} \ U_{2r} \ U_{2z} \ \dots \ U_{6r} \ U_{6z}\} \quad \dots (2.21)$$

6 จุดต่อ : Plane Strain Problem (12 × 1)

$$\{U\}^T = \{U_{1x} \ U_{1y} \ U_{2x} \ U_{2y} \ \dots \ U_{6x} \ U_{6y}\} \quad \dots (2.22)$$

15 จุดต่อ : Axisymmetric Problem (30 × 1)

$$\{U\}^T = \{U_{1r} \ U_{1z} \ U_{2r} \ U_{2z} \ \dots \ U_{15r} \ U_{15z}\} \quad \dots (2.23)$$

15 จุดต่อ : Plane Strain Problem (30 × 1)

$$\{U\}^T = \{U_{1x} \ U_{1y} \ U_{2x} \ U_{2y} \ \dots \ U_{15x} \ U_{15y}\} \quad \dots (2.24)$$

และสามารถแสดงเมทริก $[B]$ โดยอาศัยทฤษฎี Small Strain (Smith and Griffiths, 1998) สำหรับโครงข่ายชิ้นส่วนสามเหลี่ยม 6 จุดต่อ และ 15 จุดต่อได้ดังนี้

สำหรับโครงข่ายชิ้นส่วนสามเหลี่ยม 6 จุดต่อ ทำการวิเคราะห์ปัญหาแบบสองมิติสมมาตร รอบแกน (Axisymmetric Problem) สามารถแสดงค่า $[B]$ ซึ่งเขียนอยู่ในรูปของเมทริก ขนาด (4 × 12) ได้ดังนี้

$$[B] = \begin{bmatrix} \frac{\partial N_1}{\partial r} & 0 & \frac{\partial N_2}{\partial r} & 0 & \frac{\partial N_3}{\partial r} & 0 & \frac{\partial N_4}{\partial r} & 0 & \frac{\partial N_5}{\partial r} & 0 & \frac{\partial N_6}{\partial r} & 0 \\ 0 & \frac{\partial N_1}{\partial z} & 0 & \frac{\partial N_2}{\partial z} & 0 & \frac{\partial N_3}{\partial z} & 0 & \frac{\partial N_4}{\partial z} & 0 & \frac{\partial N_5}{\partial z} & 0 & \frac{\partial N_6}{\partial z} \\ \frac{\partial N_1}{\partial z} & \frac{\partial N_1}{\partial r} & \frac{\partial N_2}{\partial z} & \frac{\partial N_2}{\partial r} & \frac{\partial N_3}{\partial z} & \frac{\partial N_3}{\partial r} & \frac{\partial N_4}{\partial z} & \frac{\partial N_4}{\partial r} & \frac{\partial N_5}{\partial z} & \frac{\partial N_5}{\partial r} & \frac{\partial N_6}{\partial z} & \frac{\partial N_6}{\partial r} \\ \frac{N_1}{r} & 0 & \frac{N_2}{r} & 0 & \frac{N_3}{r} & 0 & \frac{N_4}{r} & 0 & \frac{N_5}{r} & 0 & \frac{N_6}{r} & 0 \end{bmatrix} \quad \dots (2.25)$$

สำหรับโครงข่ายชิ้นส่วนสามเหลี่ยม 6 จุดต่อ ทำการวิเคราะห์ปัญหาแบบสองมิติเคลื่อนตัว ในระนาบ (Plane Strain Problem) สามารถแสดงค่า $[B]$ ซึ่งเขียนอยู่ในรูปของเมทริก ขนาด (4 × 12) ได้ดังนี้

$$[B] = \begin{bmatrix} \frac{\partial N_1}{\partial x} & 0 & \frac{\partial N_2}{\partial x} & 0 & \frac{\partial N_3}{\partial x} & 0 & \frac{\partial N_4}{\partial x} & 0 & \frac{\partial N_5}{\partial x} & 0 & \frac{\partial N_6}{\partial x} & 0 \\ 0 & \frac{\partial N_1}{\partial y} & 0 & \frac{\partial N_2}{\partial y} & 0 & \frac{\partial N_3}{\partial y} & 0 & \frac{\partial N_4}{\partial y} & 0 & \frac{\partial N_5}{\partial y} & 0 & \frac{\partial N_6}{\partial y} \\ \frac{\partial N_1}{\partial y} & \frac{\partial N_1}{\partial x} & \frac{\partial N_2}{\partial y} & \frac{\partial N_2}{\partial x} & \frac{\partial N_3}{\partial y} & \frac{\partial N_3}{\partial x} & \frac{\partial N_4}{\partial y} & \frac{\partial N_4}{\partial x} & \frac{\partial N_5}{\partial y} & \frac{\partial N_5}{\partial x} & \frac{\partial N_6}{\partial y} & \frac{\partial N_6}{\partial x} \\ 0 & 0 & 0 & 0 & 0 & 0 & 0 & 0 & 0 & 0 & 0 & 0 \end{bmatrix}$$

..... (2.26)

สำหรับโครงข่ายชิ้นส่วนสามเหลี่ยม 15 จุดต่อ ทำการวิเคราะห์ปัญหาแบบสองมิติสมมาตร รอบแกน (Axisymmetric Problem) สามารถแสดงค่า $[B]$ ซึ่งเขียนอยู่ในรูปของเมทริก ขนาด (4×30) ได้ดังนี้

$$[B] = \begin{bmatrix} \frac{\partial N_1}{\partial r} & 0 & \frac{\partial N_2}{\partial r} & 0 & \frac{\partial N_3}{\partial r} & 0 & \dots & \dots & \frac{\partial N_{14}}{\partial r} & 0 & \frac{\partial N_{15}}{\partial r} & 0 \\ 0 & \frac{\partial N_1}{\partial z} & 0 & \frac{\partial N_2}{\partial z} & 0 & \frac{\partial N_3}{\partial z} & \dots & \dots & 0 & \frac{\partial N_{14}}{\partial z} & 0 & \frac{\partial N_{15}}{\partial z} \\ \frac{\partial N_1}{\partial z} & \frac{\partial N_1}{\partial r} & \frac{\partial N_2}{\partial z} & \frac{\partial N_2}{\partial r} & \frac{\partial N_3}{\partial z} & \frac{\partial N_3}{\partial r} & \dots & \dots & \frac{\partial N_{14}}{\partial z} & \frac{\partial N_{14}}{\partial r} & \frac{\partial N_{15}}{\partial z} & \frac{\partial N_{15}}{\partial r} \\ \frac{N_1}{r} & 0 & \frac{N_2}{r} & 0 & \frac{N_3}{r} & 0 & \dots & \dots & \frac{N_{14}}{r} & 0 & \frac{N_{15}}{r} & 0 \end{bmatrix}$$

..... (2.27)

สำหรับโครงข่ายชิ้นส่วนสามเหลี่ยม 15 จุดต่อ ทำการวิเคราะห์ปัญหาแบบสองมิติเคลื่อนตัว ในระนาบ (Plane Strain Problem) สามารถแสดงค่า $[B]$ ซึ่งเขียนอยู่ในรูปของเมทริก ขนาด (4×30) ได้ดังนี้

$$[B] = \begin{bmatrix} \frac{\partial N_1}{\partial x} & 0 & \frac{\partial N_2}{\partial x} & 0 & \frac{\partial N_3}{\partial x} & 0 & \dots & \dots & \frac{\partial N_{14}}{\partial x} & 0 & \frac{\partial N_{15}}{\partial x} & 0 \\ 0 & \frac{\partial N_1}{\partial y} & 0 & \frac{\partial N_2}{\partial y} & 0 & \frac{\partial N_3}{\partial y} & \dots & \dots & 0 & \frac{\partial N_{14}}{\partial y} & 0 & \frac{\partial N_{15}}{\partial y} \\ \frac{\partial N_1}{\partial y} & \frac{\partial N_1}{\partial x} & \frac{\partial N_2}{\partial y} & \frac{\partial N_2}{\partial x} & \frac{\partial N_3}{\partial y} & \frac{\partial N_3}{\partial x} & \dots & \dots & \frac{\partial N_{14}}{\partial y} & \frac{\partial N_{14}}{\partial x} & \frac{\partial N_{15}}{\partial y} & \frac{\partial N_{15}}{\partial x} \\ 0 & 0 & 0 & 0 & 0 & 0 & \dots & \dots & 0 & 0 & 0 & 0 \end{bmatrix}$$

..... (2.28)

โดยที่

$$r = N_1 r_1 + N_2 r_2 + N_3 r_3 + \dots + N_{n-1} r_{n-1} + N_n r_n \quad \text{..... (2.29)}$$

N_i คือ ฟังก์ชันการประมาณภายในของชิ้นส่วนสามเหลี่ยม 6 จุดต่อ และ 15 จุดต่อ

r_i คือ พิกัดของแต่ละจุดต่อของชิ้นส่วนจากแกนฐานรากวงกลม

n คือ จำนวนจุดต่อในแต่ละชิ้นส่วน (6 จุดต่อ และ 15 จุดต่อ)

2.6 Finite Element Code ที่ใช้ทำการศึกษา

ในวิทยานิพนธ์นี้ได้ใช้ Finite Element Code ตามหลักเกณฑ์ของ SNAC (Soil Nonlinear Analysis Code) ซึ่งทำการศึกษาและวิจัยโดย Abbo และ Sloan (1997) โดยจะใช้หลักการของการกำหนดเงื่อนไขของจุดต่อให้มีค่าการทรุดตัวคงที่ภายใต้ฐานรองรับ และหลังจากการคำนวณในแต่ละช่วงของการเพิ่มค่าการทรุดตัว ถ้าค่าหน่วยแรงบนจุดเกาส์มีค่าเกินกว่าระนาบการวิบัติ (Yield Surface) ของวัสดุ โปรแกรมจะทำการปรับแก้ค่าของหน่วยแรงกลับเข้ามาสู่ระนาบการวิบัติ (Yield Surface) ของวัสดุได้โดยอัตโนมัติ (Abbo and Sloan, 1997)

แบบจำลองของชิ้นส่วนสามเหลี่ยม ที่ใช้ในการวิเคราะห์ปัญหา จะขึ้นอยู่กับชนิดของแบบจำลองของมวลดินที่ใช้งานด้วย ในวิทยานิพนธ์ฉบับนี้ได้ทำการปรับปรุงและพัฒนาต่อเนื่องมาจากวิทยานิพนธ์ของ นายดำรงฤทธิ์ พรหมณีวัฒน์ ซึ่งใช้โครงข่ายชิ้นส่วนสามเหลี่ยม 6 จุดต่อ ให้สามารถวิเคราะห์โดยใช้โครงข่ายชิ้นส่วนสามเหลี่ยม 15 จุดต่อ (15-Nodes Triangular Element) และทำการศึกษปัญหาแบบจำลองมวลดินแบบ Elasto-Plastic Material และ Critical State Material ตามกฎเกณฑ์ของ Associated Flow Rule และในการวิเคราะห์ปัญหาเชิงตัวเลขด้วยวิธีไฟไนต์เอลิเมนต์ จะใช้ฟังก์ชันธรรมชาติสิบสองจุดเกาส์ (12-Gauss Points) ภายในชิ้นส่วนสามเหลี่ยม 15 จุดต่อ

2.7 แบบจำลองดินที่ใช้ทำการศึกษา

สำหรับแบบจำลองดินที่ใช้ในวิทยานิพนธ์นี้ประกอบด้วย Elastic-Perfectly Plastic Material โดยใช้กฎการวิบัติของดินแบบ Mohr-Coulomb Failure Criterion ทำการวิเคราะห์ปัญหามวลดินในสภาพไม่ระบายน้ำ (Undrained Condition) และแบบจำลองดิน Modified Cam-Clay Model รายละเอียดต่าง ๆ แสดงไว้ดังนี้

2.7.1 ค่าของหน่วยแรงที่ไม่เปลี่ยนแปลง (Stress Invariant)

ในปัญหา 2 มิติ (Plane Strain Problem) สภาวะค่าของหน่วยแรง ณ บริเวณจุดใด ๆ ของวัตถุที่ถูกแรงกระทำ สามารถแสดงค่าของหน่วยแรง (Stress Tensor) ให้อยู่ในรูปแนวแกนพิกัด Cartesian ได้ดังนี้

$$\{\sigma_x, \sigma_y, \sigma_z, \tau_{xy}, \tau_{yz}, \tau_{zx}\} \quad \dots (2.30)$$

และสามารถแสดงให้อยู่ในรูปของค่าหน่วยแรงในแนวแกนหลัก (Principle Stress) ที่กระทำบนระนาบ Orthogonal ดังนี้

$$\{\sigma_1, \sigma_2, \sigma_3\} \quad \dots (2.31)$$

การหาค่าของหน่วยแรงในแนวแกนหลัก (Principle Stress) ในจุดที่ต้องการพิจารณาจากแนวแกนพิกัด Cartesian เพื่อความสะดวกจะอาศัยหลักของความสัมพันธ์ของค่าคงที่ (Invariants) โดยที่ค่าคงที่ (σ_m, J_2, θ) มีความสัมพันธ์กับสถานะค่าของหน่วยแรงในแนวแกนพิกัด Cartesian ดังนี้

$$\sigma_m = \frac{1}{3}(\sigma_{xx} + \sigma_{yy} + \sigma_{zz}) \quad \dots (2.32)$$

$$s_x = \sigma_{xx} - \sigma_m \quad \dots (2.33)$$

$$s_y = \sigma_{yy} - \sigma_m \quad \dots (2.34)$$

$$s_z = \sigma_{zz} - \sigma_m \quad \dots (2.35)$$

$$J_2 = \frac{1}{2}(s_x^2 + s_y^2 + s_z^2) + 6\tau_{xy}^2 + 6\tau_{yz}^2 + 6\tau_{zx}^2 \quad \dots (2.36)$$

$$J_3 = s_x s_y s_z - s_x \tau_{yz}^2 - s_y \tau_{zx}^2 - s_z \tau_{xy}^2 + 2\tau_{xy} \tau_{yz} \tau_{zx} \quad \dots (2.37)$$

$$\theta = \frac{1}{3} \arcsin \left(\frac{-4.5J_3}{J_2^{3/2} \sqrt{3}} \right) \quad \dots (2.38)$$

สามารถเขียนให้อยู่ในรูปของความสัมพันธ์ได้ดังนี้

$$\sigma_m = \frac{1}{3}(\sigma_{xx} + \sigma_{yy} + \sigma_{zz}) \quad \dots (2.39)$$

$$\bar{\sigma} = \sqrt{J_2} \quad \dots (2.40)$$

ดังนั้น จะสามารถแสดงความสัมพันธ์ระหว่าง ค่าของหน่วยแรงในแนวแกนหลัก (Principle Stress) และค่าคงที่ (Invariants) ได้ดังนี้

$$\sigma_1 = \sigma_m + \frac{2}{3} \bar{\sigma} \sin \left(\theta - \frac{2\pi}{3} \right) \quad \dots (2.41)$$

$$\sigma_2 = \sigma_m + \frac{2}{3} \bar{\sigma} \sin \theta \quad \dots (2.42)$$

$$\sigma_3 = \sigma_m + \frac{2}{3} \bar{\sigma} \sin \left(\theta + \frac{2\pi}{3} \right) \quad \dots (2.43)$$

2.7.2 Mohr-Coulomb Failure Criterion

ขั้นตอนแรก ทำการเขียนหน่วยแรงในแนวแกนหลัก (Principal stresses) โดยอาศัยรูปร่างเรขาคณิตของ Mohr's Circle ดังรูปที่ 2.9 ได้ความสัมพันธ์ดังนี้

$$\frac{\sigma_1 + \sigma_3}{2} \sin \phi - \frac{\sigma_1 - \sigma_3}{2} - c \cos \phi = 0 \quad \dots\dots (2.44)$$

นำค่า σ_1 และ σ_3 จากสมการที่ 2.41 และ 2.43 แทนค่าลงในสมการที่ 2.44 จะได้สมการแสดงความสัมพันธ์ของ Mohr-Coulomb Failure Criterion ดังนี้

$$F_{mc} = \sigma_m \sin \phi + \frac{\bar{\sigma}}{\sqrt{3}} \left(\cos \theta - \frac{\sin \theta \sin \phi}{\sqrt{3}} \right) - c \cos \phi \quad \dots\dots (2.45)$$

โดยที่ c คือ ค่าความเชื่อมแน่นของดิน

σ_m คือ ค่า Mean Stress

$\bar{\sigma}$ คือ ค่า Deviator Stress

2.7.3 Incrementally Linearized Elasto Plastic Model

วิธีความเค้นเริ่มต้น คือ การหาค่าของหน่วยแรงเริ่มต้นภายในขอบเขตของปัญหา สำหรับ Linear -Elasticity มีความสัมพันธ์ระหว่างค่าความเค้นและค่าความเครียดที่เพิ่มขึ้นของวัตถุเป็นไปตามสมการดังนี้

$$\Delta \sigma = D_c \Delta \varepsilon \quad \dots\dots (2.46)$$

และสำหรับ Elastic Plasticity มีความสัมพันธ์ดังนี้

$$\Delta \sigma = D_{PL} \Delta \varepsilon \quad \dots\dots (2.47)$$

เมื่อ $D_{PL} = D_c - D_p \quad \dots\dots (2.48)$

สำหรับในช่วงที่ว่าด้วยกฎของวัสดุที่เป็น Perfect Plasticity สมมุติว่ามีความเค้น ณ จุดหนึ่งเข้าสู่พื้นผิววิบัติ (Failure Surface) และต่อมากจะมีการเปลี่ยนแปลงโดยเพิ่มค่าของความเค้น ณ บริเวณจุดนั้นโดยจะขยายขอบเขตของพื้นผิววิบัติ แต่ยังคงมีความสัมพันธ์ภายใต้สมการดังต่อไปนี้

$$\frac{\partial F}{\partial \sigma} \Delta \sigma = 0 \quad \dots\dots (2.49)$$

โดยอาศัยกฎเกณฑ์ของสมการ Associated Flow Rule ในการเพิ่มขึ้นของค่าความเครียดพลาสติก จะสามารถแสดงสมการได้ดังนี้

$$\Delta \varepsilon_p = \lambda \frac{\partial Q}{\partial \sigma} \quad \dots (2.50)$$

จากความสัมพันธ์ของการเพิ่มขึ้นของค่าความเครียดสามารถนำมาหาค่าของ λ ได้ดังนี้

$$\Delta \varepsilon_{pL} = \Delta \varepsilon_c + \Delta \varepsilon_p \quad \dots (2.51)$$

$$\Delta \varepsilon_{pL} = D_c^{-1} \Delta \sigma + \lambda \frac{\partial Q}{\partial \sigma} \quad \dots (2.52)$$

$$\left(\frac{\partial F}{\partial \sigma} \right)^T D_c \Delta \varepsilon_{pL} = \left(\frac{\partial F}{\partial \sigma} \right)^T \Delta \sigma + \lambda \left(\frac{\partial F}{\partial \sigma} \right)^T D_c \frac{\partial Q}{\partial \sigma} \quad \dots (2.53)$$

จากความสัมพันธ์ ดังสมการที่ 2.49 ดังนั้น $\left(\frac{\partial F}{\partial \sigma} \right)^T \Delta \sigma = 0$ และจะได้ว่า

$$\lambda = \frac{\left(\frac{\partial F}{\partial \sigma} \right)^T D_c \Delta \varepsilon_{pL}}{\left(\frac{\partial F}{\partial \sigma} \right)^T D_c \frac{\partial Q}{\partial \sigma}} \quad \dots (2.54)$$

แสดงสมการของการเปลี่ยนแปลงของค่าความเค้น ที่แปรผันตามค่าตัวแปรของ D_c ได้ดังนี้

$$\Delta \sigma = D_c \left(\Delta \varepsilon_{pL} - \lambda \frac{\partial Q}{\partial \sigma} \right) \quad \dots (2.55)$$

แทนค่าสมการที่ 2.54 ลงในสมการที่ 2.55 จะได้ความสัมพันธ์ดังต่อไปนี้

$$\Delta \sigma = D_c \left(\Delta \varepsilon_{pL} - \frac{\frac{\partial Q}{\partial \sigma} \left(\frac{\partial F}{\partial \sigma} \right)^T D_c \Delta \varepsilon_{pL}}{\left(\frac{\partial F}{\partial \sigma} \right)^T D_c \frac{\partial Q}{\partial \sigma}} \right) \quad \dots (2.56)$$

$$\Delta \sigma = \left(D_c - \frac{D_c \frac{\partial Q}{\partial \sigma} \left(\frac{\partial F}{\partial \sigma} \right)^T D_c}{\left(\frac{\partial F}{\partial \sigma} \right)^T D_c \frac{\partial Q}{\partial \sigma}} \right) \Delta \varepsilon_{pL} \quad \dots (2.57)$$

เขียนความสัมพันธ์ของ D_p ให้อยู่ในรูปสมการของ D_c ได้ดังนี้

$$D_p = \frac{D_c \frac{\partial Q}{\partial \sigma} \left(\frac{\partial F}{\partial \sigma} \right)^T D_c}{\left(\frac{\partial F}{\partial \sigma} \right)^T D_c \frac{\partial Q}{\partial \sigma}} \quad \dots (2.58)$$

แสดงความสัมพันธ์ของค่าหน่วยแรงกระทำต่อวัตถุกับค่าความเครียดที่เพิ่มขึ้นในสภาวะของการเคลื่อนตัวแบบพลาสติก สำหรับการเขียนโปรแกรมไฟไนต์เอลิเมนต์ได้ดังนี้

$$P_b^i = \sum_{elements}^{all} \int B^T (D_p \Delta \varepsilon)^i d(element) \quad \dots (2.59)$$

จากรูปที่ 2.10 ช่วงแรกวัตถุจะอยู่ในสภาวะยืดหยุ่น และจากการเพิ่มขึ้นของค่าหน่วยแรงกระทำต่อวัตถุ เป็นเหตุให้ ณ บริเวณบางแห่งของวัตถุ ได้เข้าสู่สภาวะพลาสติกเป็นครั้งแรก ดังนั้น จำเป็นที่จะต้องมีการปรับแก้ค่าหน่วยแรงภายในของวัตถุ ดังสมการ

$$D_p = f D_p \quad \dots (2.60)$$

เมื่อ
$$f = \frac{F_{NEW}}{F_{NEW} - F_{OLD}} \quad \dots (2.61)$$

โดยที่ f คือ ค่าปรับแก้หน่วยแรงภายในของวัตถุ

F_{OLD} คือ ค่าของหน่วยแรงที่กระทำ ณ ช่วงเวลาปัจจุบัน

F_{NEW} คือ ค่าของหน่วยแรงที่กระทำ ณ ช่วงเวลาถัดไป

รูปที่ 2.11 แสดงความสัมพันธ์ระหว่างความเค้นและความเครียด ของแบบจำลอง Elastic-Perfectly Plastic Material

2.7.4 Modified Cam-Clay Model

แบบจำลอง Modified Cam-Clay จะคล้ายคลึงกับ Original Cam-Clay ต่างกันตรงรูปร่างของ Yield Function จะเป็นรูปวงรี แทนที่จะเป็นรูปหยดน้ำ ดังแสดงในรูปที่ 2.12

สำหรับ Yield Function ของแบบจำลอง Modified Cam-Clay สามารถหาได้จากความสัมพันธ์ดังต่อไปนี้ (Britto and Gunn, 1987)

$$q^2 = M^2 p' p'_c - M^2 p'^2 \quad \dots (2.62)$$

โดยที่ p'_c คือ Preconsolidation Pressure

ค่าพารามิเตอร์อื่น ๆ ที่ใช้ในแบบจำลอง Modified Cam-Clay ซึ่งประกอบด้วย M , Γ , κ , λ และ ν แสดงไว้ในรูปที่ 2.13

สำหรับขนาดของ Yield Function จะถูกกำหนดโดย Peak Mean Stress, p'_x (ค่า p' ณ เวลาที่ดินถึงสภาวะวิบัติ) ดังนั้นที่สภาวะวิบัติ จะสามารถหาค่า Shear Stress, q ได้ดังนี้

$$q = Mp'_x \quad \dots (2.63)$$

แทนค่า q ลงในสมการ (2.62) จะได้

$$p'_c = 2p'_x \quad \dots (2.64)$$

ดังนั้น Yield Function ของแบบจำลอง Modified Cam-Clay สามารถแสดงได้ดังนี้

$$F = \frac{q^2}{p'} + M^2p' - 2M^2p'_x \quad \dots (2.65)$$

เนื่องจากผลของ Elastic Strain, $d\varepsilon_e$ เท่านั้น ที่ทำให้ค่าความเค้นเกิดการเปลี่ยนแปลง ดังนั้น สามารถแสดงความสัมพันธ์ระหว่างค่าความเค้น และความเครียดที่เพิ่มขึ้น (Constitutive Equation) ได้ดังนี้

$$\begin{aligned} \{d\sigma'\} &= [C'_c]\{d\varepsilon_c\} = [C'_c](\{d\varepsilon\} - \{d\varepsilon_p\}) \\ &= [C'_c]\left(\{d\varepsilon\} - \lambda_p \frac{\partial G}{\partial \sigma'}\right) \end{aligned} \quad \dots (2.66)$$

โดยที่ $[C'_c]$ คือ Effective Elastic Matrix

G คือ Plastic Potential Function

λ_p คือ (Plastic) Scaling Factor

เมื่อทำการจัดให้อยู่ในรูปใหม่ จะสามารถแสดงความสัมพันธ์ระหว่างค่าความเค้น และความเครียด ที่เพิ่มขึ้น ได้ดังนี้

$$\{d\sigma'\} = ([C'_c] - [C'_p])\{d\varepsilon\} \quad \dots (2.67)$$

$$\text{เมื่อ } [C'_p] = \frac{[C'_c] \frac{\partial F}{\partial \sigma'} \left\langle \frac{\partial F}{\partial \sigma'} \right\rangle [C'_c]}{\left\langle \frac{\partial F}{\partial \sigma'} \right\rangle [C'_c] \left\langle \frac{\partial F}{\partial \sigma'} \right\rangle - \frac{\partial F}{\partial p'_x} \frac{\partial p'_x}{\partial v^p} v_o F_m} \quad \dots\dots (2.68)$$

โดยที่ $[C'_p]$ คือ Effective Plastic Matrix

2.8 การประมาณค่าความเครียด ณ ตำแหน่งจุดเกาส์ โดยวิธี SPR

ในการประมาณค่าความคลาดเคลื่อน โดยทั่วไปจะทำได้โดยการประมาณค่าจากผลเฉลี่ยของระเบียบวิธีไฟไนต์เอลิเมนต์เทียบกับค่าที่ได้จากผลเฉลี่ยที่แม่นยำกว่า หน่วยแรงที่ได้จากผลเฉลี่ยของระเบียบวิธีไฟไนต์เอลิเมนต์ในแต่ละชั้นส่วนนั้น จะไม่มีความต่อเนื่องกันทั้งระบบ และจะมีความแตกต่างกันไปในแต่ละชั้นส่วน สำหรับวิทยานิพนธ์นี้จะทำการประมาณหาค่าความเครียดที่ต้องการพิจารณาในแต่ละชั้นส่วนให้มีความต่อเนื่องกันทั้งระบบโดยอาศัยวิธี Superconvergent Patch Recovery of strain (SPR) (Zienkiewicz and Zhu, 1992a, 1992b; Hu and Randolph, 1998b)

ข้อดีของวิธีนี้ คือ สามารถลดปัญหาของความไม่ต่อเนื่องของค่าความเครียด ณ บริเวณจุดต่อ และขอบของชั้นส่วน และยังสามารถหาค่าของความเครียด ณ จุดที่ต้องการพิจารณาภายใน Element Patch ที่สนใจ

ในแต่ละชั้นส่วน ที่ตำแหน่งจุดเกาส์ จะมีค่าของหน่วยแรงที่แม่นยำกว่าที่ตำแหน่งอื่น ๆ ดังนั้นเริ่มแรก จะทำการประมาณค่าความเครียดที่จุดต่อของชั้นส่วนได้ จากค่าความเครียดของกลุ่มจุดเกาส์ที่มีอิทธิพลรอบ ๆ จุดต่อนั้น ดังสมการต่อไปนี้

$$\Delta \varepsilon_n^* = Pa \quad \dots\dots (2.69)$$

โดยที่ $\Delta \varepsilon_n^*$ คือ ค่าความเครียดที่เพิ่มขึ้น ณ ตำแหน่งจุดต่อที่พิจารณา

P คือ ค่าฟังก์ชันของพิกัด ณ ตำแหน่งจุดต่อที่พิจารณา

a คือ ค่าตัวแปรที่ไม่ทราบค่า (เป็นฟังก์ชันของ ค่าความเครียดของกลุ่มจุดเกาส์ ที่มีอิทธิพลรอบจุดต่อนั้น ๆ)

รูปที่ 2.14 และรูปที่ 2.15 แสดงตำแหน่งของกลุ่มจุดเกาส์ ที่มีอิทธิพลรอบจุดต่อที่ต้องการพิจารณา สำหรับโครงข่ายชั้นส่วน 6 จุดต่อ และ 15 จุดต่อ ตามลำดับ

สำหรับปัญหาสองมิติของชิ้นส่วนสามเหลี่ยม 6 จุดต่อจะใช้ค่า

$$P = \begin{bmatrix} 1 & x & y & x^2 & xy & y^2 \end{bmatrix} \quad \dots (2.70)$$

$$a = \begin{bmatrix} a_1 & a_2 & a_3 & a_4 & a_5 & a_6 \end{bmatrix}^T \quad \dots (2.71)$$

และสำหรับปัญหาสองมิติของชิ้นส่วนสามเหลี่ยม 15 จุดต่อจะใช้ค่า

$$P = \begin{bmatrix} 1 & x & y & x^2 & xy & y^2 & x^3 & x^2y & xy^2 & y^3 & x^4 & x^3y & x^2y^2 & xy^3 & y^4 \end{bmatrix} \quad \dots (2.72)$$

$$a = \begin{bmatrix} a_1 & a_2 & a_3 & a_4 & a_5 & a_6 & a_7 & a_8 & a_9 & a_{10} & a_{11} & a_{12} & a_{13} & a_{14} & a_{15} \end{bmatrix}^T \quad \dots (2.73)$$

สำหรับค่า a ซึ่งเป็นตัวแปรที่ไม่ทราบค่า สามารถหาได้จากหลักการของวิธีกำลังสองน้อยที่สุดของกลุ่มจุดเกาส์ดังกล่าว ซึ่งในกรณี 2 มิติ ค่าเสขตกค้างสามารถหาได้ดังนี้

$$F(a) = \sum_{i=1}^n [\Delta \varepsilon_n(x'_i, y'_i) - \Delta \varepsilon_n^*(x'_i, y'_i)]^2 \quad \dots (2.74)$$

$$= \sum_{i=1}^n [\Delta \varepsilon_n(x'_i, y'_i) - P(x'_i, y'_i)a]^2 \quad \dots (2.75)$$

โดยที่ (x'_i, y'_i) คือ พิกัดของจุดเกาส์ทั้งหมดภายใน Element Patch

$n = mk$ คือ จำนวนจุดเกาส์ทั้งหมดภายใน Element Patch

k คือ จำนวนจุดเกาส์ในแต่ละชิ้นส่วน

m คือ จำนวนชิ้นส่วนทั้งหมดภายใน Element Patch

$\Delta \varepsilon_n$ คือ ค่าความเครียดที่เพิ่มขึ้น ณ ตำแหน่งจุดเกาส์ ที่คำนวณได้จากวิธีไฟไนต์เอลิเมนต์

จากนั้นทำการหาค่าเสขตกค้างต่ำสุด โดยกำหนดให้ค่าอนุพันธ์ของ $F(a)$ มีค่าเท่ากับศูนย์ ซึ่งจะได้ว่า

$$\sum_{i=1}^n P^T(x'_i, y'_i)P(x'_i, y'_i)a = \sum_{i=1}^n P^T(x'_i, y'_i)\varepsilon_n(x'_i, y'_i) \quad \dots (2.76)$$

สามารถเขียนให้อยู่ในรูปเมทริก (สำหรับโครงข่ายชิ้นส่วน 6 จุดต่อ) ได้ดังนี้

$$\begin{bmatrix} n & \sum x'_i & \sum y'_i & \sum x_i^2 & \sum x'_i y'_i & \sum y_i^2 \\ \sum x'_i & \sum x_i^2 & \sum x'_i y'_i & \sum x_i^3 & \sum x_i^2 y'_i & \sum x'_i y_i^2 \\ \sum y'_i & \sum x'_i y'_i & \sum y_i^2 & \sum x_i^2 y'_i & \sum x'_i y_i^2 & \sum y_i^3 \\ \sum x_i^2 & \sum x_i^3 & \sum x_i^2 y'_i & \sum x_i^4 & \sum x_i^3 y'_i & \sum x_i^2 y_i^2 \\ \sum x'_i y'_i & \sum x_i^2 y'_i & \sum x'_i y_i^2 & \sum x_i^3 y'_i & \sum x_i^2 y_i^2 & \sum x'_i y_i^3 \\ \sum y_i^2 & \sum x'_i y_i^2 & \sum y_i^3 & \sum x_i^2 y_i^2 & \sum x'_i y_i^3 & \sum y_i^4 \end{bmatrix} \begin{Bmatrix} a_1 \\ a_2 \\ a_3 \\ a_4 \\ a_5 \\ a_6 \end{Bmatrix} = \begin{Bmatrix} \sum \varepsilon_{hi} \\ \sum x'_i \varepsilon_{hi} \\ \sum y'_i \varepsilon_{hi} \\ \sum x_i^2 \varepsilon_{hi} \\ \sum x'_i y'_i \varepsilon_{hi} \\ \sum y_i^2 \varepsilon_{hi} \end{Bmatrix} \dots\dots (2.77)$$

และสามารถเขียนให้อยู่ในรูปเมทริก (สำหรับโครงข่ายชั้นส่วน 15 จุดต่อ) ได้ดังนี้

$$\begin{bmatrix} n & \sum x'_i & \sum y'_i & \sum x_i^2 & \dots\dots & \sum x'_i y_i^3 & \sum y_i^4 \\ \sum x'_i & \sum x_i^2 & \sum x'_i y'_i & \sum x_i^3 & \dots\dots & \sum x_i^2 y_i^3 & \sum x'_i y_i^4 \\ \sum y'_i & \sum x'_i y'_i & \sum y_i^2 & \sum x_i^2 y'_i & \dots\dots & \sum x'_i y_i^4 & \sum y_i^5 \\ \sum x_i^2 & \sum x_i^3 & \sum x_i^2 y'_i & \sum x_i^4 & \dots\dots & \sum x_i^3 y_i^3 & \sum x_i^2 y_i^4 \\ \vdots & \vdots & \vdots & \vdots & \vdots & \vdots & \vdots \\ \sum x'_i y_i^3 & \sum x_i^2 y_i^3 & \sum x'_i y_i^4 & \sum x_i^3 y_i^3 & \dots\dots & \sum x_i^2 y_i^6 & \sum x'_i y_i^7 \\ \sum y_i^4 & \sum x'_i y_i^4 & \sum y_i^5 & \sum x_i^2 y_i^4 & \dots\dots & \sum x'_i y_i^7 & \sum y_i^8 \end{bmatrix} \begin{Bmatrix} a_1 \\ a_2 \\ a_3 \\ a_4 \\ \vdots \\ a_{14} \\ a_{15} \end{Bmatrix} = \begin{Bmatrix} \sum \varepsilon_{hi} \\ \sum x'_i \varepsilon_{hi} \\ \sum y'_i \varepsilon_{hi} \\ \sum x_i^2 \varepsilon_{hi} \\ \vdots \\ \sum x'_i y_i^3 \varepsilon_{hi} \\ \sum y_i^4 \varepsilon_{hi} \end{Bmatrix} \dots\dots (2.78)$$

$$[A] \{a\} = \{b\} \dots\dots (2.79)$$

$$\text{หรือ} \quad \{a\} = [A]^{-1} \{b\} \dots\dots (2.80)$$

หลังจากคำนวณค่าเมทริก a ได้แล้ว จะสามารถหาค่าความเครียดที่เพิ่มขึ้น ณ ตำแหน่งจุดต่อที่พิจารณา, $\Delta \varepsilon_n^*$ ได้ จากสมการที่ (2.69) โดยกำหนดให้ P แทนค่าพิคด ณ ตำแหน่งจุดต่อที่พิจารณา

การหาค่าความเครียดโดยวิธี SPR ที่จุดต่อของชั้นส่วน จะมีบางจุดต่อที่มีการหาค่าซ้ำกันกับจุดรวมชั้นส่วนอื่น ๆ ซึ่งจะทำให้โดยการนำค่าทั้งหมดมาหาค่าเฉลี่ย และเมื่อได้ค่าความเครียด ณ ตำแหน่งจุดต่อทุกจุดแล้ว จะสามารถหาค่าความเครียด ณ ตำแหน่งจุดเกาส์ ของแต่ละชั้นส่วน ได้โดยอาศัยฟังก์ชันการประมาณภายในของชั้นส่วน ดังนี้

$$\Delta \varepsilon^* = N_1 \Delta \varepsilon_{n1}^* + N_2 \Delta \varepsilon_{n2}^* + N_3 \Delta \varepsilon_{n3}^* + \dots + N_k \Delta \varepsilon_{nk}^* \dots\dots (2.81)$$

$$\text{หรือ} \quad \Delta \varepsilon^* = \sum_{i=1}^k N_i \Delta \varepsilon_{ni}^* \quad \dots\dots (2.82)$$

โดยที่ N_i คือ ฟังก์ชันการประมาณภายใน ณ ตำแหน่งจุดเกาส์ของชิ้นส่วนสามเหลี่ยม 6 จุดต่อ และ 15 จุดต่อ

$\Delta \varepsilon^*$ คือ ค่าความเครียดที่เพิ่มขึ้น ณ ตำแหน่งจุดเกาส์ ที่คำนวณได้จาก "SPR"

k คือ จำนวนจุดต่อในแต่ละชิ้นส่วน (6 จุดต่อ และ 15 จุดต่อ)

เพื่อหลีกเลี่ยงการหาค่าไม่ได้ของค่าเมทริก A ในบางกรณี จากสมการที่ 2.76 อันเนื่องจาก ชิ้นส่วนที่มีค่าอนุพันธ์อันดับสูง ดังนั้นเราจึงจำเป็นที่จะต้องมีการปรับปรุง และจำกัดขอบเขตของกลุ่มชิ้นส่วน แล้วหาค่าพิกัดอ้างอิง ที่ใช้ในการคำนวณหาเมทริก A ดังสมการ

$$x'_i = -1 + \frac{x_i - x_{\min}}{x_{\max} - x_{\min}} \quad \dots\dots (2.83)$$

$$y'_i = -1 + \frac{y_i - y_{\min}}{y_{\max} - y_{\min}} \quad \dots\dots (2.84)$$

โดยที่ x_{\max} และ x_{\min} คือ ค่าที่มากและน้อยที่สุด ในกลุ่มของชิ้นส่วน ตามแนวแกนอน

y_{\max} และ y_{\min} คือ ค่าที่มากและน้อยที่สุด ในกลุ่มของชิ้นส่วน ตามแนวแกนตั้ง

x'_i และ y'_i คือ พิกัดอ้างอิงตามแนวแกนอนและแนวแกนตั้ง มีค่าอยู่ระหว่าง -1 ถึง 1

2.9 การประมาณค่าความคลาดเคลื่อน

ในวิทยานิพนธ์นี้จะประมาณค่าความคลาดเคลื่อน ของค่าความเครียดที่คำนวณได้จากวิธีไฟไนต์เอลิเมนต์ และ ค่าความเครียด ณ ตำแหน่งจุดเกาส์ ที่คำนวณได้จาก "SPR" โดยมีวัตถุประสงค์เพื่อนำมาใช้ในการหาขนาดชิ้นส่วนที่เหมาะสมสำหรับการวิเคราะห์ด้วยวิธีไฟไนต์เอลิเมนต์

ค่าความเครียด และค่าความคลาดเคลื่อนในแต่ละชิ้นส่วน ที่นำเสนอโดย Zienkiewicz and Zhu (1992b) สามารถคำนวณได้ดังสมการต่อไปนี้

$$\|U^*\|_{2t} = \left(\int_{\Omega} (\Delta \varepsilon^*)^T (\Delta \varepsilon^*) d\Omega \right)^{\frac{1}{2}} \quad \dots\dots (2.85)$$

$$\|U^*\|_{2t} = \left(\sum_{i=1}^{nip} (\Delta \varepsilon^*)_i^T (\Delta \varepsilon^*)_i * \det_i * weight_i \right)^{\frac{1}{2}} \quad \dots\dots (2.86)$$

$$\|e^*\|_{2l} = \left(\int_{\Omega} (\Delta\varepsilon^* - \Delta\varepsilon_h)^T (\Delta\varepsilon^* - \Delta\varepsilon_h) d\Omega \right)^{\frac{1}{2}} \quad \dots (2.87)$$

$$\|e^*\|_{2l} = \left(\sum_{i=1}^{nip} (\Delta\varepsilon^* - \Delta\varepsilon_h)^T (\Delta\varepsilon^* - \Delta\varepsilon_h) * \det_i * weight_i \right)^{\frac{1}{2}} \quad \dots (2.88)$$

ขนาดของค่าความเครียด และค่าความคลาดเคลื่อนโดยรวมทั้งระบบ สามารถคำนวณได้ดังสมการต่อไปนี้

$$\|U^*\|_{2g} = \left(\sum_{i=1}^{Nc} \|U^*\|_{2l}^2 \right)^{\frac{1}{2}} \quad \dots (2.89)$$

$$\|e^*\|_{2g} = \left(\sum_{i=1}^{Nc} \|e^*\|_{2l}^2 \right)^{\frac{1}{2}} \quad \dots (2.90)$$

$$\eta_g^* = \frac{\|e^*\|_{2g}}{\|U^*\|_{2g}} \quad \dots (2.91)$$

- โดยที่ $\|U^*\|_{2l}$ คือ ขนาดของค่าความเครียดในแต่ละชิ้นส่วน
 $\|e^*\|_{2l}$ คือ ขนาดของค่าความคลาดเคลื่อนในแต่ละชิ้นส่วน
 $\|U^*\|_{2g}$ คือ ขนาดของค่าความเครียดโดยรวมทั้งระบบ
 $\|e^*\|_{2g}$ คือ ขนาดของค่าความคลาดเคลื่อนโดยรวมทั้งระบบ
 η_g^* คือ ความคลาดเคลื่อนสัมพัทธ์โดยรวม
 nip คือ จำนวนจุดเกาส์ทั้งหมดในแต่ละชิ้นส่วน
 Ne คือ จำนวนชิ้นส่วนทั้งหมดในระบบ

จากค่าความคลาดเคลื่อนทั้งหมดที่ได้นี้ จะสามารถนำค่ามาคำนวณหาขนาดของชิ้นส่วนที่เหมาะสมในระบบ ดังจะกล่าวถึงรายละเอียดในหัวข้อถัดไป

2.10 การประมาณขนาดของชิ้นส่วนที่เหมาะสม

เนื่องจากความคลาดเคลื่อนจะแปรผันตามขนาดของชิ้นส่วนยกกำลังด้วย กำลังของพหุนามในฟังก์ชันรูปร่าง (Kelly, etal. 1983; Zienkiewicz and Zhu, 1992a) ดังสมการ

$$\|ell = Ch^P \quad \dots\dots (2.92)$$

โดยที่ C คือ ค่าคงตัวที่ไม่ทราบค่า

h คือ ขนาดของชั้นส่วน

P คือ กำลังของพหุนามในฟังก์ชันรูปร่าง

(กรณี 6 จุดต่อ : P มีค่าเท่ากับ 2 , กรณี 15 จุดต่อ : P มีค่าเท่ากับ 4)

ดังนั้นถ้ารู้ค่าความคลาดเคลื่อนและขนาดของชั้นส่วนปัจจุบัน เราสามารถคำนวณหาขนาดของชั้นส่วนที่มีค่าความคลาดเคลื่อน เท่ากับค่าความคลาดเคลื่อนที่ยอมให้ ได้จากสมการ

$$h_{ncw} = h_{old} \left(\frac{\|ell_a}{\|e^*\|_{2l}} \right)^{1/P} \quad \dots\dots (2.93)$$

โดยที่ h_{ncw} คือ ขนาดของชั้นส่วนที่จะสร้างขึ้นมาใหม่

h_{old} คือ ขนาดของชั้นส่วนในปัจจุบัน

$\|ell_a$ คือ ค่าความคลาดเคลื่อนที่ยอมให้ในแต่ละชั้นส่วน

$\|e^*\|_{2l}$ คือ ขนาดของค่าความคลาดเคลื่อนในแต่ละชั้นส่วน

การหาค่าความคลาดเคลื่อนที่ยอมให้ในแต่ละชั้นส่วนนั้น หาได้จากการกำหนดค่าความคลาดเคลื่อนสัมพัทธ์โดยรวมที่ยอมให้ แล้วทำการหาค่าความคลาดเคลื่อนที่ยอมให้ในแต่ละชั้นส่วนจากสมการ

$$\|ell_a = \eta_a \frac{\|U^*\|_{2g}}{\sqrt{Ne}} \quad \dots\dots (2.94)$$

โดยที่ $\|ell_a$ คือ ค่าความคลาดเคลื่อนที่ยอมให้ในแต่ละชั้นส่วน

η_a คือ ค่าความคลาดเคลื่อนสัมพัทธ์โดยรวมที่ยอมให้

ถ้าค่าความคลาดเคลื่อนในแต่ละชั้นส่วน มีค่ามากกว่า ค่าความคลาดเคลื่อนที่ยอมให้ในแต่ละชั้นส่วน จะทำให้ค่า h_{ncw} ที่คำนวณได้มีค่าน้อยกว่า h_{old} ซึ่งหมายถึงชั้นส่วนเดิมมีขนาดใหญ่เกินไป จะต้องทำการแบ่งขนาดชั้นส่วนให้มีขนาดเล็กลง

ในวิทยานิพนธ์ฉบับนี้ การแบ่งขนาดชั้นส่วนให้มีขนาดเล็กลง จะอาศัยหลักการเดิมที่ใช้ในวิทยานิพนธ์ของนาย ดำรงฤทธิ์ พรหมณีวัฒน์ ซึ่งมีข้อกำหนดต่าง ๆ ดังนี้ ขนาดของชั้นส่วนจะหมายถึง พื้นที่ของแต่ละชั้นส่วนภายในขอบเขตของปัญหา และการแบ่งขนาดของชั้นส่วนให้เล็กลง

จะกระทำโดยการแทรกจุดต่อใหม่ลง ณ บริเวณจุดศูนย์ถ่วงของแต่ละชั้นส่วน และในกรณีที่บริเวณขอบของปัญหา ขนาดของชั้นส่วนจะหมายถึงความยาวด้านของชั้นส่วนที่เป็นขอบเขตของปัญหา และการแบ่งขนาดของชั้นส่วนให้เล็กลง จะกระทำโดยการแทรกจุดต่อใหม่ลง ณ จุดกึ่งกลางด้านของชั้นส่วนที่เป็นขอบเขตของปัญหา

2.11 การถ่ายโอนค่าของตัวแปรสถานะ (State Variable Mapping)

ค่าตัวแปรสถานะ หมายถึง ค่าที่บอกถึงสภาพของหน่วยแรง, ค่าความเครียด และคุณสมบัติของมวลดิน ณ ตำแหน่งที่พิจารณา สำหรับโครงข่ายชั้นส่วนนั้น ๆ ดังนั้นเมื่อมีการปรับปรุงพิกัดและรูปร่างของโครงข่ายของชั้นส่วน โดยการสร้างโครงข่ายของชั้นส่วนขึ้นมาใหม่ ภายในโครงข่ายของชั้นส่วนเดิม จึงจำเป็นที่จะต้องมีการถ่ายโอนค่าตัวแปรสถานะดังกล่าว จากโครงข่ายของชั้นส่วนเดิม ไปสู่โครงข่ายของชั้นส่วนใหม่ เพื่อใช้เป็นโครงข่ายเริ่มต้นสำหรับการคำนวณในวงรอบถัดไป

ในวิทยานิพนธ์นี้ ค่าผลเฉลยที่ได้จากการวิเคราะห์ด้วยวิธีไฟไนต์เอลิเมนต์จะเป็นค่าที่บริเวณจุดเกาส์ของแต่ละชั้นส่วน ดังนั้นการถ่ายโอนค่าตัวแปรสถานะ จะถ่ายโอนจากจุดเกาส์ของโครงข่ายชั้นส่วนเดิม ไปยังจุดเกาส์ของโครงข่ายชั้นส่วนใหม่ ในขั้นตอนแรกจะต้องทราบค่าตัวแปรสถานะที่บริเวณจุดต่อของโครงข่ายของชั้นส่วนเดิม โดยสำหรับการคำนวณค่าตัวแปรสถานะที่บริเวณจุดต่อที่ใช้อยู่เดิมในวิทยานิพนธ์ของ นาย ดำรงค์ฤทธิ์ พรหมณีวัฒน์ ซึ่งเป็นวิธีที่คิดค้นขึ้นมาเอง โดยอาศัยการประยุกต์ใช้สมการ Quadratic Shape Function พบว่าค่าที่คำนวณได้ไม่มีความแม่นยำเพียงพอ และไม่สามารถประยุกต์ใช้ได้กับโครงข่ายชั้นส่วน 15 จุดต่อ ดังนั้นจึงได้ทำการเปลี่ยนแปลงจากวิธีดังกล่าวมาใช้ในการคำนวณด้วยวิธี Superconvergent Patch Recovery (SPR) ซึ่งพบว่าให้ผลลัพธ์ที่มีความต่อเนื่อง และมีความแม่นยำมากขึ้น

การประมาณค่าตัวแปรสถานะที่จุดต่อของโครงข่ายของชั้นส่วนเดิม จากค่าตัวแปรสถานะของกลุ่มจุดเกาส์ที่ทราบค่าที่มีอิทธิพลรอบ ๆ จุดต่อนั้น แสดงไว้ดังสมการต่อไปนี้

$$V_n^* = Pa \quad \dots\dots (2.95)$$

โดยที่ V_n^* คือ ค่าตัวแปรสถานะ ณ ตำแหน่งจุดต่อที่พิจารณา

P คือ ค่าฟังก์ชันของพิกัด ณ ตำแหน่งจุดต่อที่พิจารณา

(เมทริก P แสดงไว้ในสมการที่ 2.70 และ 2.72)

a คือ ค่าตัวแปรที่ไม่ทราบค่า (เป็นฟังก์ชันของ ค่าตัวแปรสถานะของกลุ่มจุดเกาส์ ที่มีอิทธิพลรอบจุดต่อนั้น ๆ) (เมทริก a แสดงไว้ในสมการที่ 2.71 และ 2.73)

สำหรับค่า a ซึ่งเป็นตัวแปรที่ไม่ทราบค่า สามารถเขียนให้อยู่ในรูปเมทริก (สำหรับโครงข่ายชิ้นส่วน 6 จุดต่อ) ได้ดังนี้

$$\begin{bmatrix} n & \sum x_i' & \sum y_i' & \sum x_i'^2 & \sum x_i'y_i' & \sum y_i'^2 \\ \sum x_i' & \sum x_i'^2 & \sum x_i'y_i' & \sum x_i'^3 & \sum x_i'^2y_i' & \sum x_i'y_i'^2 \\ \sum y_i' & \sum x_i'y_i' & \sum y_i'^2 & \sum x_i'^2y_i' & \sum x_i'y_i'^2 & \sum y_i'^3 \\ \sum x_i'^2 & \sum x_i'^3 & \sum x_i'^2y_i' & \sum x_i'^4 & \sum x_i'^3y_i' & \sum x_i'^2y_i'^2 \\ \sum x_i'y_i' & \sum x_i'^2y_i' & \sum x_i'y_i'^2 & \sum x_i'^3y_i' & \sum x_i'^2y_i'^2 & \sum x_i'y_i'^3 \\ \sum y_i'^2 & \sum x_i'y_i'^2 & \sum y_i'^3 & \sum x_i'^2y_i'^2 & \sum x_i'y_i'^3 & \sum y_i'^4 \end{bmatrix} \begin{Bmatrix} a_1 \\ a_2 \\ a_3 \\ a_4 \\ a_5 \\ a_6 \end{Bmatrix} = \begin{Bmatrix} \sum V_{hi} \\ \sum x_i'V_{hi} \\ \sum y_i'V_{hi} \\ \sum x_i'^2V_{hi} \\ \sum x_i'y_i'V_{hi} \\ \sum y_i'^2V_{hi} \end{Bmatrix}$$

..... (2.96)

และสามารถเขียนให้อยู่ในรูปเมทริก (สำหรับโครงข่ายชิ้นส่วน 15 จุดต่อ) ได้ดังนี้

$$\begin{bmatrix} n & \sum x_i' & \sum y_i' & \sum x_i'^2 & \cdots & \sum x_i'y_i'^3 & \sum y_i'^4 \\ \sum x_i' & \sum x_i'^2 & \sum x_i'y_i' & \sum x_i'^3 & \cdots & \sum x_i'^2y_i'^3 & \sum x_i'y_i'^4 \\ \sum y_i' & \sum x_i'y_i' & \sum y_i'^2 & \sum x_i'^2y_i' & \cdots & \sum x_i'y_i'^4 & \sum y_i'^5 \\ \sum x_i'^2 & \sum x_i'^3 & \sum x_i'^2y_i' & \sum x_i'^4 & \cdots & \sum x_i'^3y_i'^3 & \sum x_i'^2y_i'^4 \\ \vdots & \vdots & \vdots & \vdots & \vdots & \vdots & \vdots \\ \sum x_i'y_i'^3 & \sum x_i'^2y_i'^3 & \sum x_i'y_i'^4 & \sum x_i'^3y_i'^3 & \cdots & \sum x_i'^2y_i'^6 & \sum x_i'y_i'^7 \\ \sum y_i'^4 & \sum x_i'y_i'^4 & \sum y_i'^5 & \sum x_i'^2y_i'^4 & \cdots & \sum x_i'y_i'^7 & \sum y_i'^8 \end{bmatrix} \begin{Bmatrix} a_1 \\ a_2 \\ a_3 \\ a_4 \\ \vdots \\ a_{14} \\ a_{15} \end{Bmatrix} = \begin{Bmatrix} \sum V_{hi} \\ \sum x_i'V_{hi} \\ \sum y_i'V_{hi} \\ \sum x_i'^2V_{hi} \\ \vdots \\ \sum x_i'y_i'^3V_{hi} \\ \sum y_i'^4V_{hi} \end{Bmatrix}$$

..... (2.97)

$$[A] \{a\} = \{b\} \quad \text{..... (2.98)}$$

$$\text{หรือ} \quad \{a\} = [A]^{-1} \{b\} \quad \text{..... (2.99)}$$

โดยที่ (x_i', y_i') คือ พิกัดของจุดเกาส์ทั้งหมดภายใน Element Patch

V_h คือ ค่าตัวแปรสถานะ ณ ตำแหน่งจุดเกาส์ ที่คำนวณได้จากวิธีไฟไนต์เอลิเมนต์

n คือ จำนวนจุดเกาส์ทั้งหมดภายใน Element Patch

หลังจากคำนวณค่าเมทริก a ได้แล้ว จะสามารถหาค่าตัวแปรสถานะ ณ ตำแหน่งจุดต่อที่พิจารณา, V_n^* ได้ จากสมการที่ (2.95) โดยกำหนดให้ P แทนค่าพิกัด ณ ตำแหน่งจุดต่อที่พิจารณา และถ้าค่าตัวแปรสถานะที่บริเวณจุดต่อของชิ้นส่วนที่หาค่าได้ซ้ำกันกับจุดรวมชิ้นส่วนอื่น ๆ ก็จะนำค่าทั้งหมดมาหาค่าเฉลี่ย

ขั้นตอนต่อไป ทำการถ่ายโอนค่าตัวแปรสถานะ จากโครงข่ายของชิ้นส่วนเดิม ไปสู่โครงข่ายของชิ้นส่วนใหม่ โดยนำค่าพิกัดตำแหน่งจุดเกาส์ของชิ้นส่วนใหม่ มาตรวจสอบว่าอยู่ในชิ้นส่วนหมายเลขใดของโครงข่ายชิ้นส่วนเดิม จากนั้นนำค่าพิกัดตำแหน่งจุดเกาส์ (x, y) ของชิ้นส่วนใหม่ มาแปลงให้อยู่ในรูปค่าพิกัดธรรมชาติ (L_1, L_2, L_3) ของชิ้นส่วนเดิมนั้น ๆ โดยอาศัยความสัมพันธ์ของฟังก์ชันการประมาณภายในของชิ้นส่วน และในขั้นตอนนี้จะต้องอาศัยการแก้สมการ Nonlinear Equation ซึ่งในวิทยานิพนธ์นี้จะเรียกใช้โปรแกรมย่อย DNEQNF จาก IMSL Math/Library ดังนั้นจะสามารถถ่ายโอนค่าตัวแปรสถานะไปยังจุดเกาส์ของโครงข่ายชิ้นส่วนใหม่ ได้จากสมการดังต่อไปนี้

$$V^+ = N_1 V_{n1}^* + N_2 V_{n2}^* + N_3 V_{n3}^* + \dots + N_k V_{nk}^* \quad \dots (2.100)$$

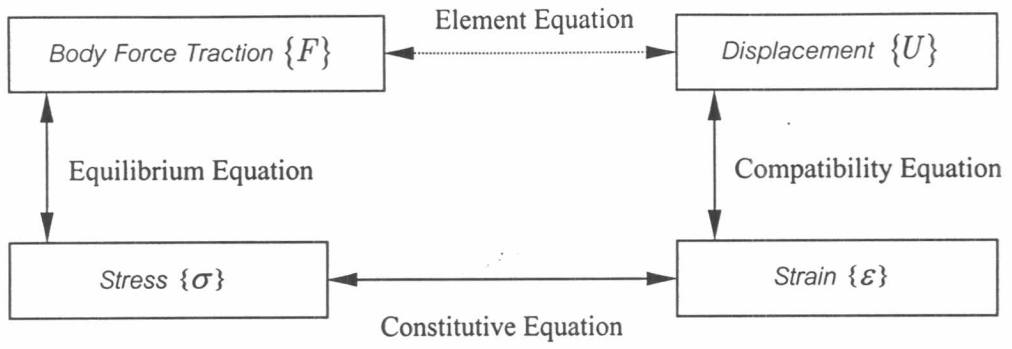
$$V^+ = \sum_{i=1}^k N_i V_{ni}^* \quad \dots (2.101)$$

โดยที่ V^+ คือ ค่าตัวแปรสถานะที่จุดเกาส์ของชิ้นส่วนใหม่ ซึ่งได้จากการถ่ายโอน

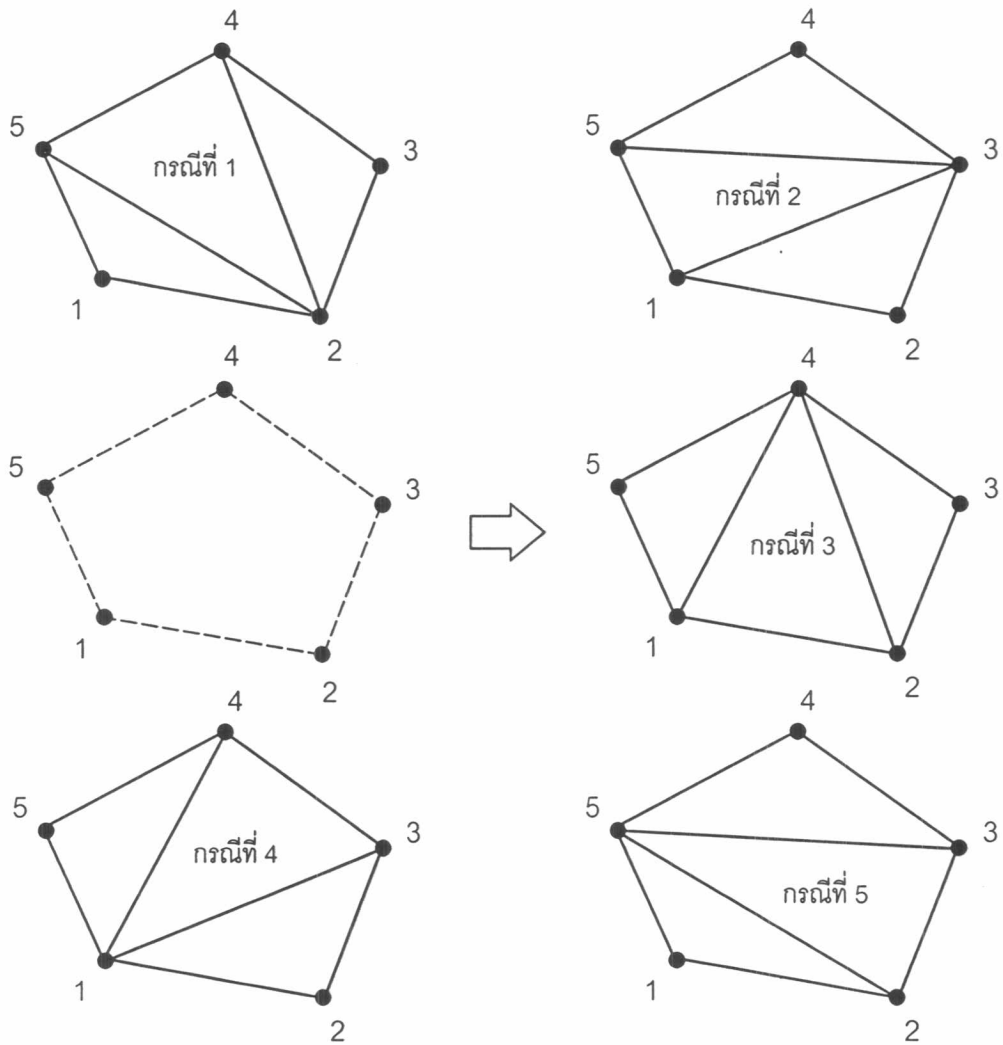
N_i คือ ฟังก์ชันการประมาณภายในของชิ้นส่วนสามเหลี่ยม 6 จุดต่อ และ 15 จุดต่อ

k คือ จำนวนจุดต่อในแต่ละชิ้นส่วน (6 จุดต่อ และ 15 จุดต่อ)

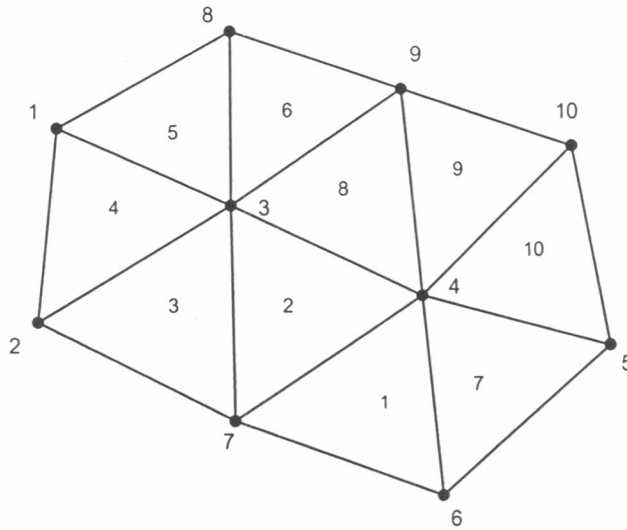
รูปที่ 2.16 แสดงการถ่ายโอนค่าตัวแปรสถานะ จากโครงข่ายของชิ้นส่วนเดิมไปสู่โครงข่ายของชิ้นส่วนใหม่



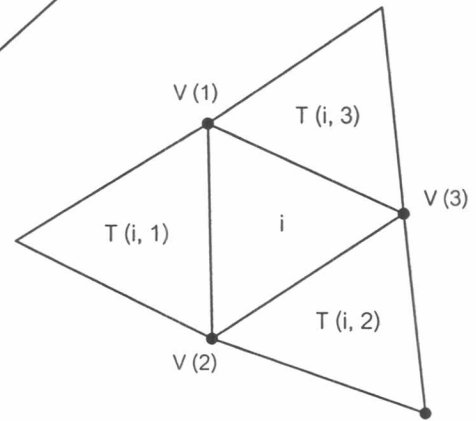
รูปที่ 2.1 ความสัมพันธ์ในการวิเคราะห์ปัญหาโดยระเบียบวิธีไฟไนต์เอลิเมนต์



รูปที่ 2.2 การสร้างโครงข่ายของชิ้นส่วนโดยใช้สามเหลี่ยมเดอลอนเน



หมายเลขของจุดต่อ
หมายเลขของชิ้นส่วน



หมายเลขชิ้นส่วนสามเหลี่ยม

	1	2	3	4	5	6	7	8	9	10
Vertex (V)	1	4	3	2	1	1	3	4	3	4
	2	7	7	7	2	3	9	6	4	10
	3	6	4	3	3	8	8	5	9	9

หมายเลขชิ้นส่วนสามเหลี่ยม

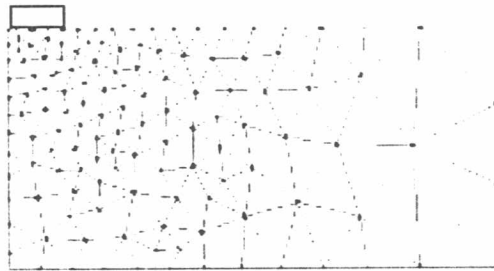
	1	2	3	4	5	6	7	8	9	10
Adjacent	1	2	3	0	0	4	8	1	2	10
Triangle (T)	2	0	1	2	3	6	0	0	9	0
	3	7	8	4	5	0	5	10	6	8

Vertex (V) คือ การเรียงลำดับหมายเลขของจุดต่อของชิ้นส่วนหลัก เรียงทวนเข็มนาฬิกา
 Adjacent Triangle (T) คือ การเรียงลำดับหมายเลขของชิ้นส่วนที่อยู่ด้านประชิดกับชิ้นส่วนหลัก
 Adjacent Triangle (1) = หมายเลขของชิ้นส่วนสามเหลี่ยมที่ติดกับด้านของจุดต่อ V (1) กับ V (2)
 Adjacent Triangle (2) = หมายเลขของชิ้นส่วนสามเหลี่ยมที่ติดกับด้านของจุดต่อ V (2) กับ V (3)
 Adjacent Triangle (3) = หมายเลขของชิ้นส่วนสามเหลี่ยมที่ติดกับด้านของจุดต่อ V (3) กับ V (1)
 Adjacent Triangle มีค่าเท่ากับ 0 เมื่อไม่มีชิ้นส่วนที่ติดอยู่กัด้านของจุดต่อที่กำหนด

รูปที่ 2.3 รายละเอียดของชิ้นส่วนสามเหลี่ยมเดอลอน



โครงข่ายที่ไม่ได้ควบคุมความหนาแน่น



โครงข่ายที่ทำการควบคุมความหนาแน่น
ชนิด Coarse Mesh

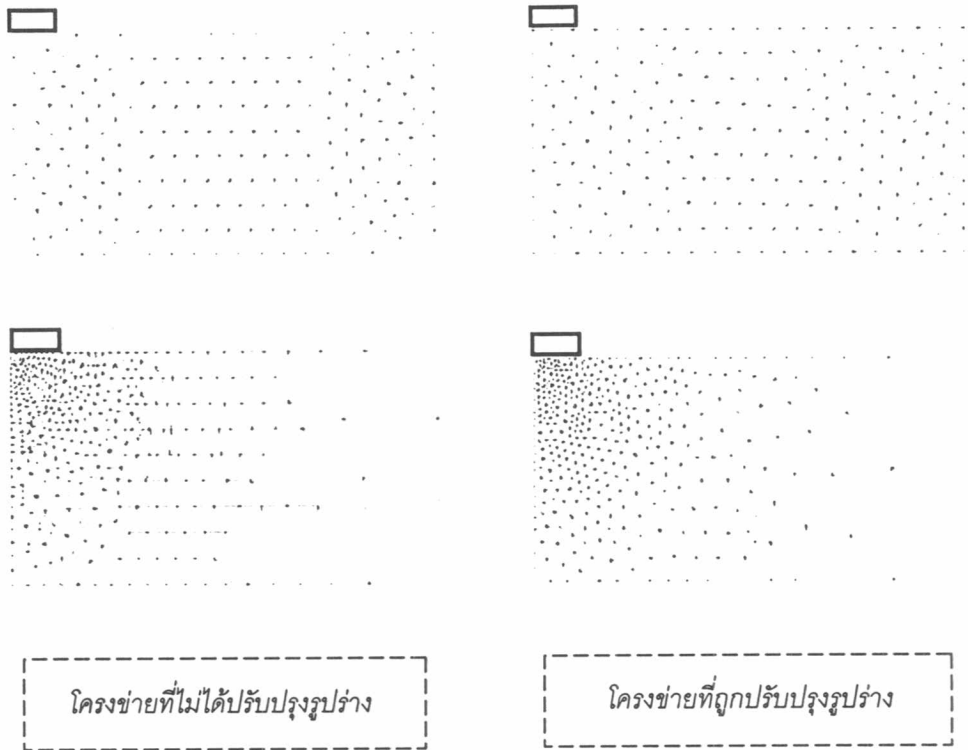


โครงข่ายที่ทำการควบคุมความหนาแน่น
ชนิด Fine Mesh

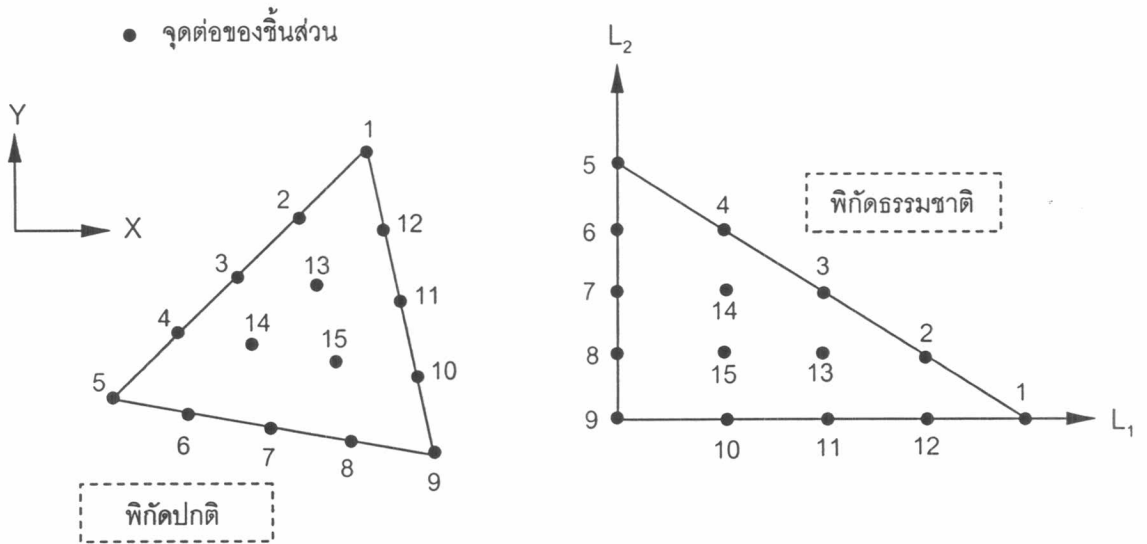
รูปที่ 2.4 การควบคุมความหนาแน่นของโครงข่ายของชิ้นส่วน



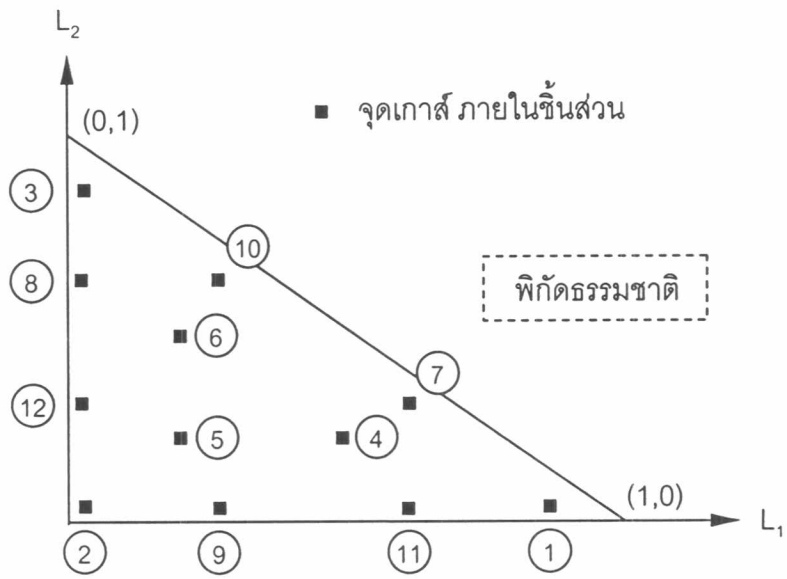
รูปที่ 2.5 พิกัดของจุดต่อ i และพิกัดข้างเคียงสำหรับ Laplacian Mesh Smoothing



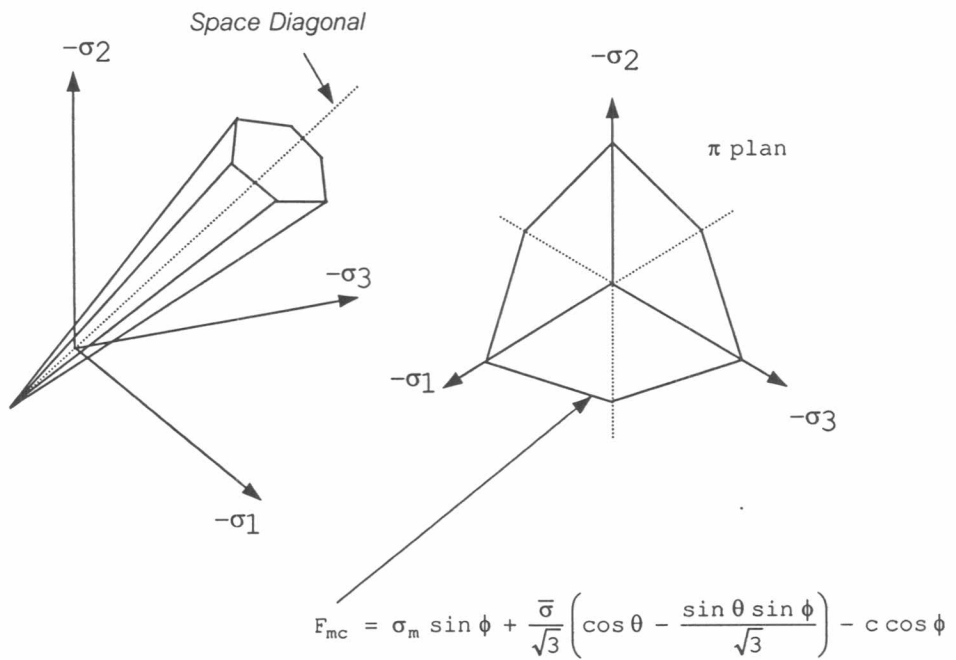
รูปที่ 2.6 ผลของการปรับปรุงรูปร่างของโครงข่ายชิ้นส่วนโดยวิธี Laplacian Mesh Smoothing



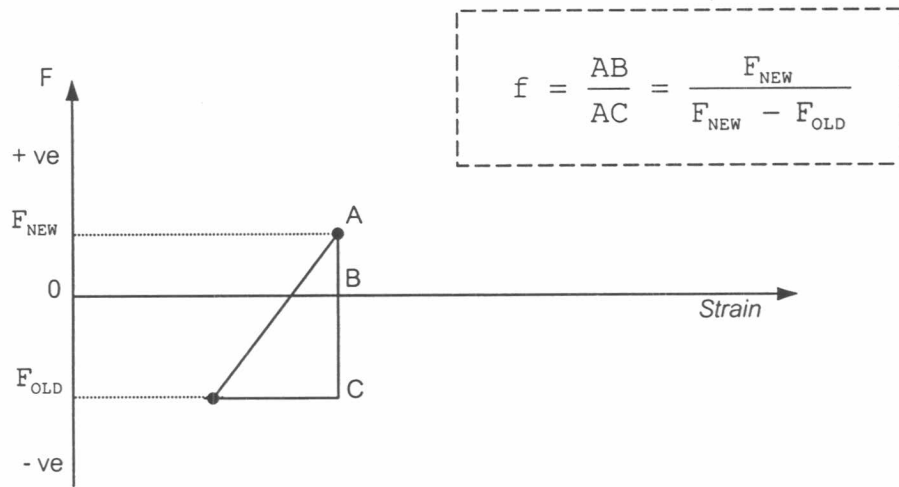
รูปที่ 2.7 โครงข่ายของชิ้นส่วนสามเหลี่ยมสลับห้าจุดต่อ



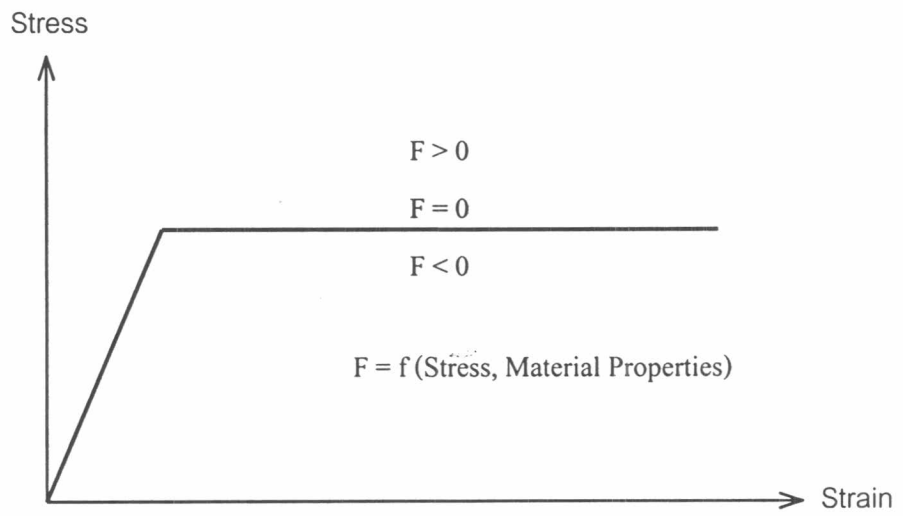
รูปที่ 2.8 การจัดเรียงตำแหน่งจุดแก๊สของชั้นส่วน.



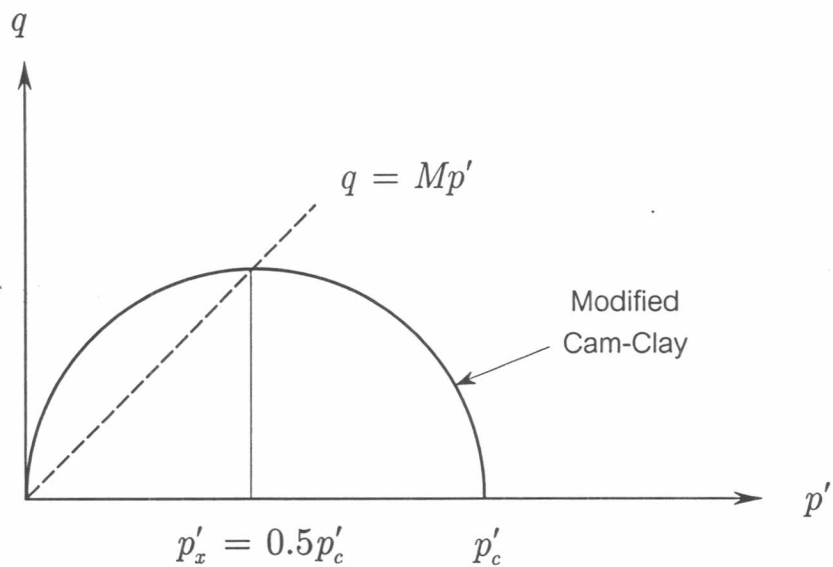
รูปที่ 2.9 Mohr-Coulomb Failure Criterion



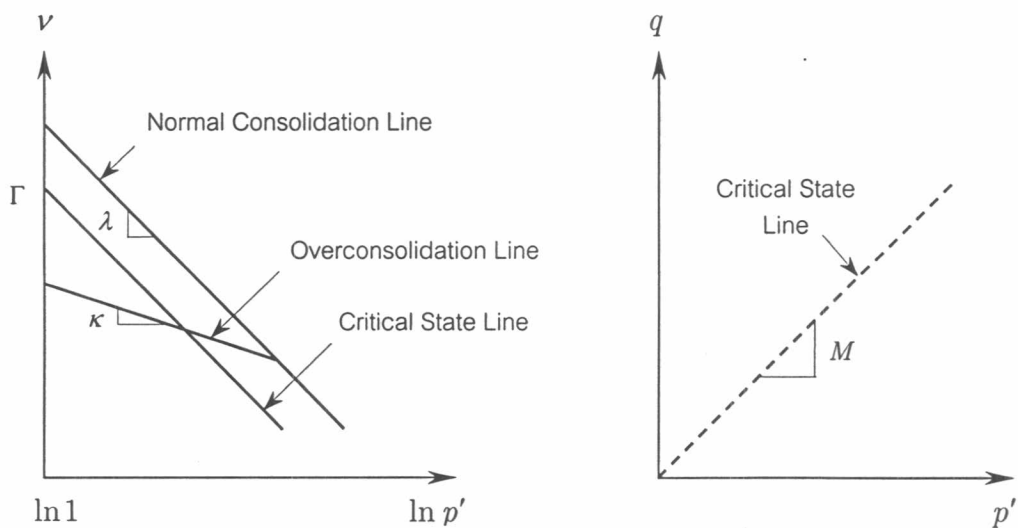
รูปที่ 2.10 การปรับแก้ค่าของหน่วยแรงสำหรับวัตถุที่เข้าสู่สภาวะพลาสติก



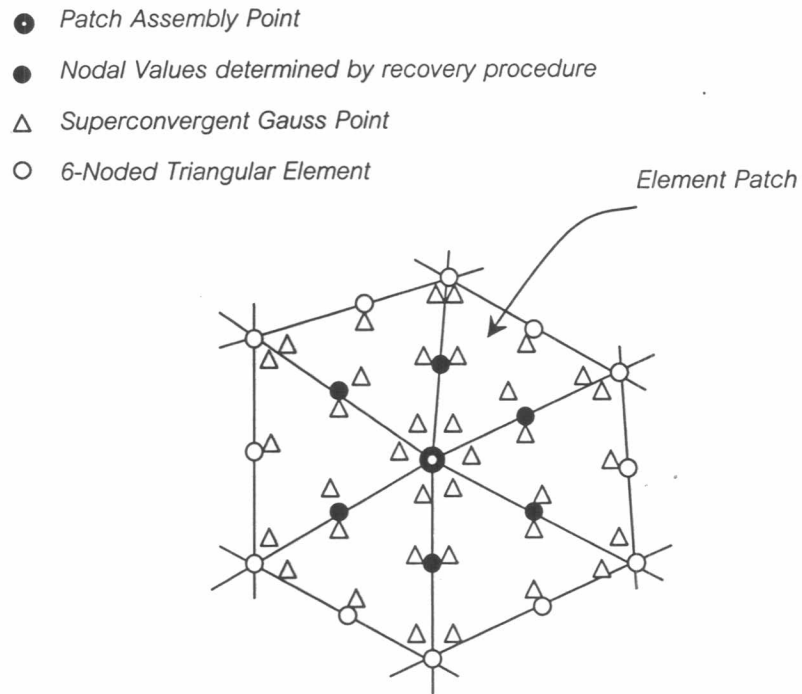
รูปที่ 2.11 แบบจำลอง Elastic-Perfectly Plastic Material



รูปที่ 2.12 Yield Function ของแบบจำลอง Modified Cam-Clay

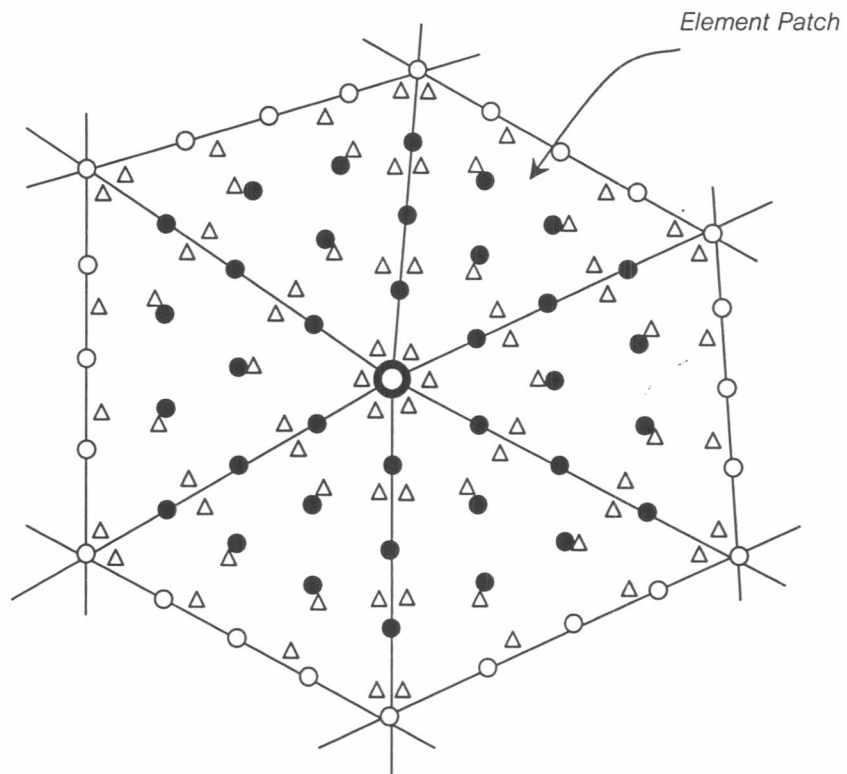


รูปที่ 2.13 ค่าพารามิเตอร์ที่ใช้ในแบบจำลอง Modified Cam-Clay

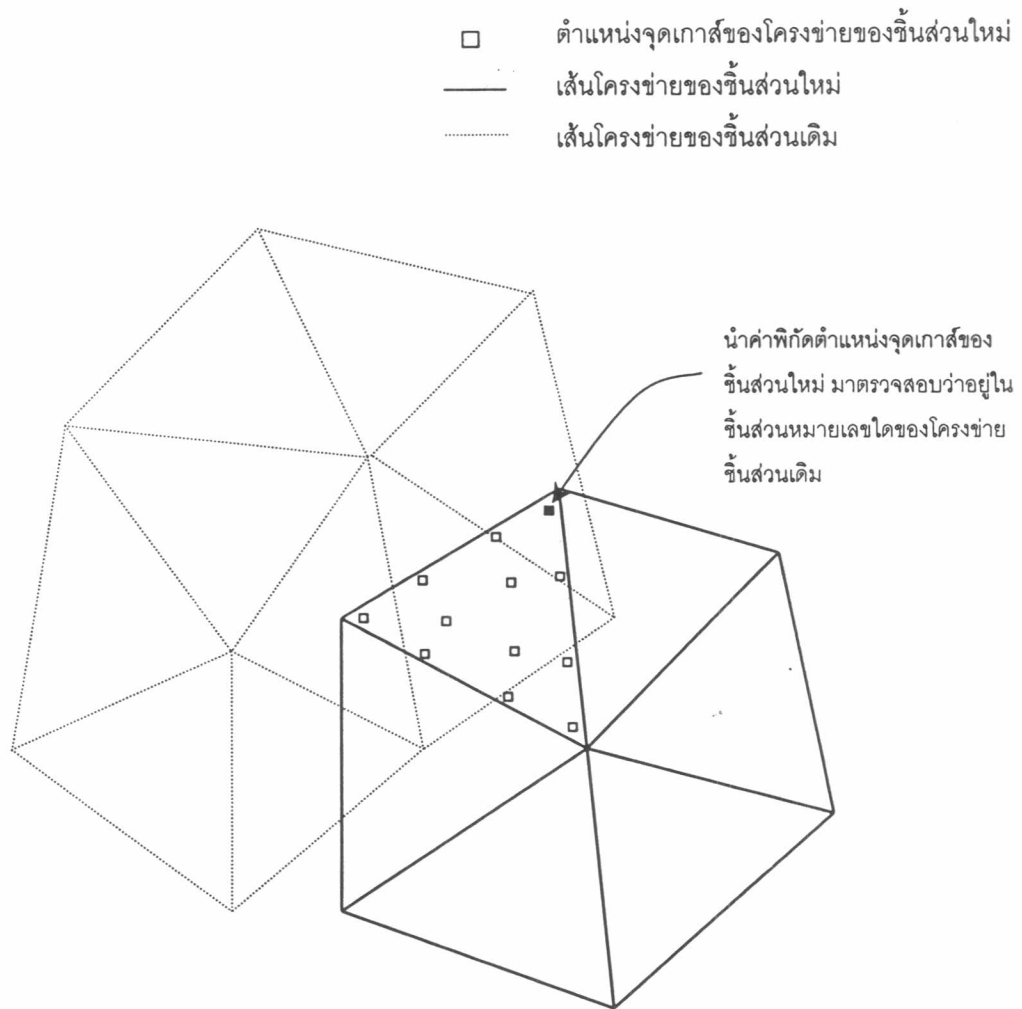


รูปที่ 2.14 ตำแหน่งของกลุ่มจุดเกาส์ ที่มีอิทธิพลรอบจุดต่อที่ต้องการพิจารณา
สำหรับโครงข่ายของชิ้นส่วน 6 จุดต่อ

- Patch Assembly Point
- Nodal Values determined by recovery procedure
- △ Superconvergent Gauss Point
- 15-Noded Triangular Element



รูปที่ 2.15 ตำแหน่งของกลุ่มจุดเกาส์ ที่มีอิทธิพลรอบจุดต่อที่ต้องการพิจารณา
สำหรับโครงข่ายของชิ้นส่วน 15 จุดต่อ



พิจารณาตำแหน่งจุดเกาส์ที่แรงๆ นำค่าพิกัดตำแหน่งจุดเกาส์ (x, y) ของชั้นส่วนใหม่ มาแปลงให้อยู่ในรูปค่าพิกัดธรรมชาติ (L_1, L_2, L_3) ของโครงข่ายของชั้นส่วนเดิมโดยอาศัยความสัมพันธ์ของฟังก์ชันการประมาณภายในของชั้นส่วน

รูปที่ 2.16 การถ่ายโอนค่าของตัวแปรสถานะ (State Variable Mapping)